

Příloha A: Tabulky obsahující hodnoty chl-a získané pozemním odběrem, hodnoty chl-a vymodelované jednotlivými nástroji v bodě *in situ* odběru a mediány vymodelovaných hodnot v oblasti 3x3 pixelů kolem místa odběru (pro body použité pro srovnání).

a) Gulfe du Lion

bod	zem. šířka (°)	zem. délka (°)	in situ měření		vymodelované hodnoty chl-a			Median 3x3 pixelů			srovnání v %	
			datum a čas	chl-a (mg/m <sup>3</sup> )	C2R (mg/m <sup>3</sup> )	FUB/Wew (mg/m <sup>3</sup> )	FLH	C2R (mg/m <sup>3</sup> )	FUB/Wew (mg/m <sup>3</sup> )	FLH**	C2R	FUB/Wew
1	43,298	4,965	17.4.2003 7:09	0,55	0,776	0,121	0,000440	0,656	0,134	0,000060	19,23	-75,55
2	43,215	4,965	17.4.2003 8:05	0,34	0,584	0,167	-0,000274	0,584	0,159	-0,000044	71,82	-53,27
3	43,132	4,966	17.4.2003 8:52	0,30	0,617	0,130	-0,000640	0,548	*	-0,000015	82,69	*
4	43,048	4,965	17.4.2003 9:45	0,25	0,529	0,151	-0,000272	0,541	0,139	-0,000213	116,42	-44,55
5	43,048	4,851	17.4.2003 10:40	0,37	0,646	0,164	0,000192	0,654	0,164	0,000013	76,88	-55,67
6	43,132	4,851	17.4.2003 11:31	0,65	0,674	0,143	-0,000200	0,653	0,159	0,000006	0,41	-75,60
7	43,215	4,851	17.4.2003 12:20	0,49	2,140	0,229	0,000233	*	*	0,000313	*	*
8	43,298	4,851	17.4.2003 13:10	2,26	5,256	2,361	0,000000	*	*	0,000797	*	*
9	43,298	4,738	17.4.2003 14:10	1,09	5,465	0,732	0,000129	*	*	0,000633	*	*
10	43,215	4,738	17.4.2003 14:57	0,84	2,893	0,559	0,000548	*	0,456	0,000535	*	-45,74

\* Tato odběrová místa nebyla pro srovnání s *in situ* daty vybrána, protože nespĺňovala jednu nebo více podmínek spárování (viz. kap 4.6)

\*\* Hodnoty indexu FLH nespĺňovaly podmínku koeficientu variance menšího než 0,15 ani pro jedno odběrové místo. Hodnoty byly použity do korelační analýzy pouze jako příklad.

b) Skagerrak a Kattegat

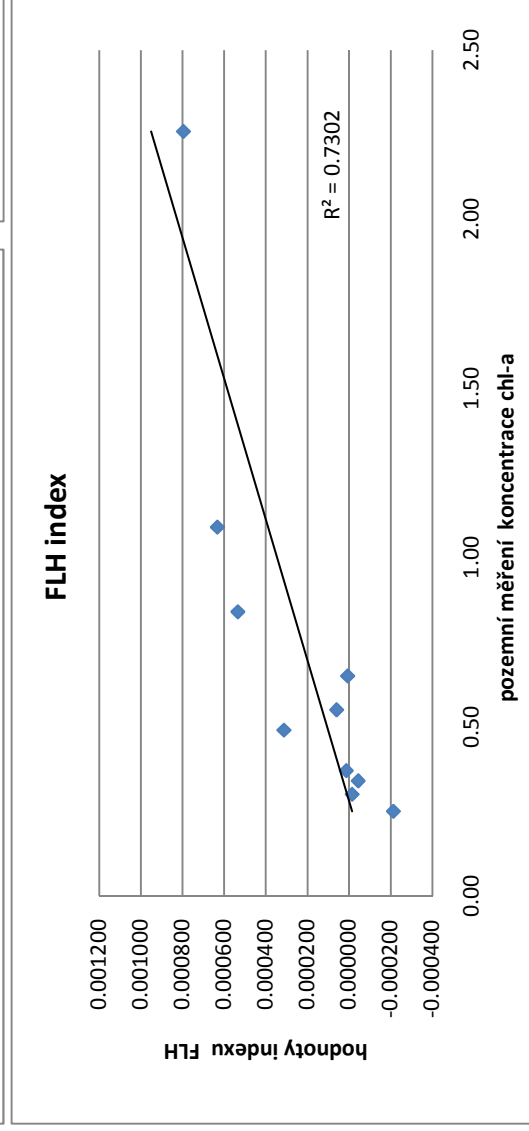
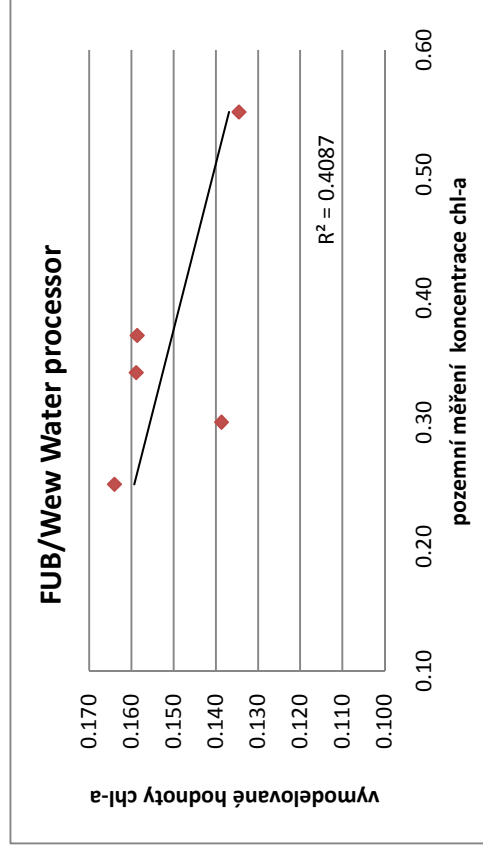
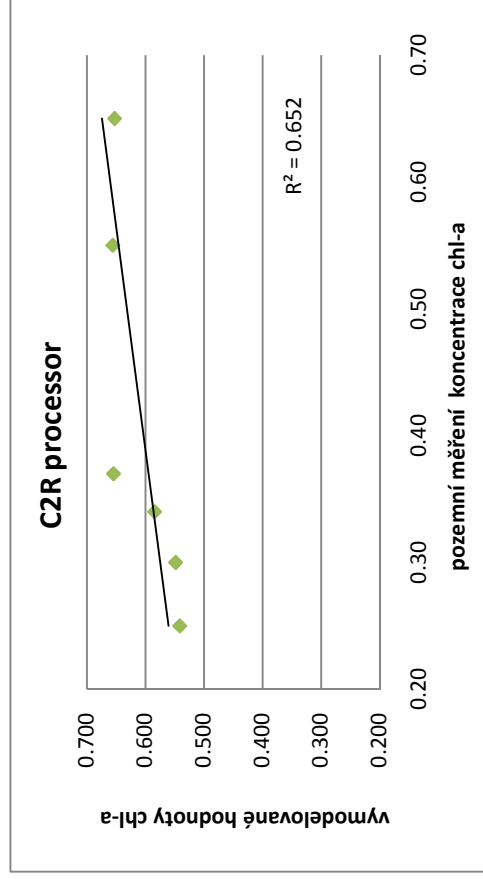
bod	zem. šířka (°)	zem. délka (°)	in situ měření		vymodelované hodnoty chl-a			Median 3x3 pixelů			srovnání v %	
			datum a čas	chl-a (mg/m <sup>3</sup> )	C2R (mg/m <sup>3</sup> )	FUB/Wew (mg/m <sup>3</sup> )	FLH	C2R (mg/m <sup>3</sup> )	FUB/Wew*** (mg/m <sup>3</sup> )	FLH**	C2R	FUB/Wew
1	57,530	11,325	21.9.2006 5:32	8,8	4,190	0,523	-0,000801	4,447	0,610	0,000109	-49,46	-93,06
2	57,550	11,525	21.9.2006 6:50	11,9	4,373	0,662	-0,000640	4,672	0,562	0,000204	-60,74	-95,27
3	57,205	11,647	21.9.2006 9:11	13,9	4,998	0,606	-0,000472	5,206	0,732	0,000012	-62,55	-94,73

\*\* Hodnoty indexu FLH nespĺňovaly podmínku koeficientu variance menšího než 0,15 ani pro jedno odběrové místo. Hodnoty byly použity do korelační analýzy pouze jako příklad.

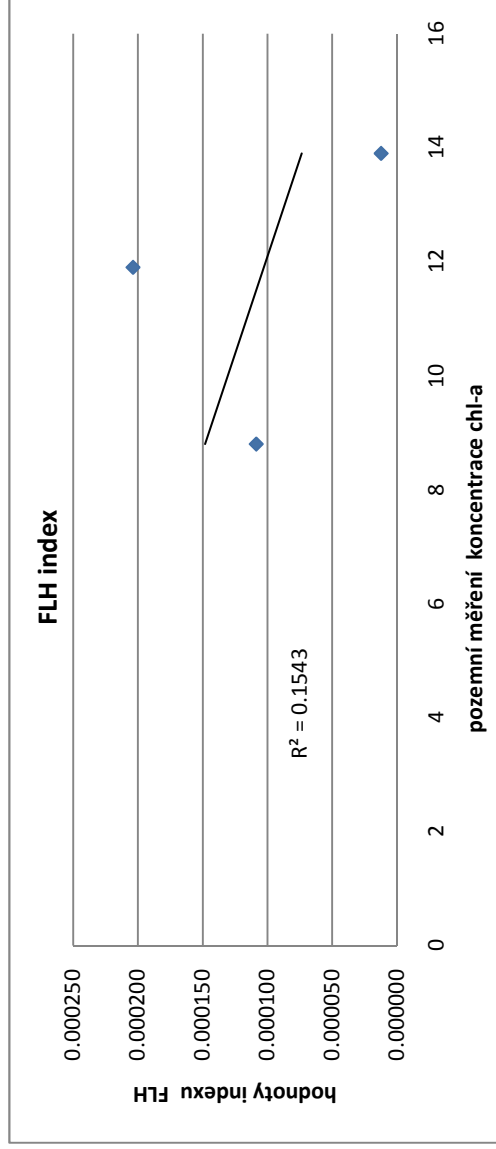
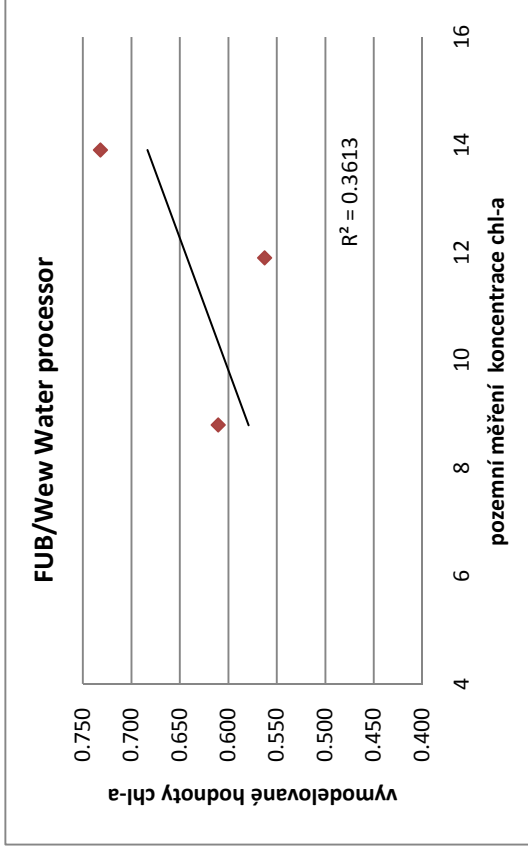
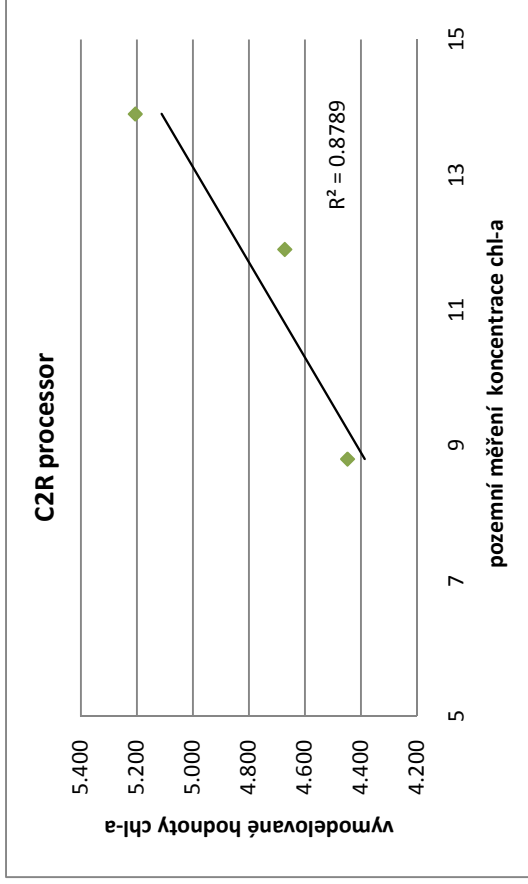
\*\*\* Hodnoty vymodelované nástrojem FUB/Wew Water processor vyhovují podmínce koeficientu variance menšího než 0,15 jen v jednom případě. Hodnoty byly použity do korelační analýzy pouze jako příklad.

Příloha B: Grafy korelací mezi pozemně změřenými hodnotami chl-a a vymodelovanými hodnotami chl-a v jednotkách mg/m<sup>3</sup> (kromě hodnot FLH indexu) a jejich korelační koeficienty. Hodnoty jsou v jednotkách mg/m<sup>3</sup>, kromě hodnot indexu FLH, které jsou bezrozměrné.

a) Gulfe du Lion



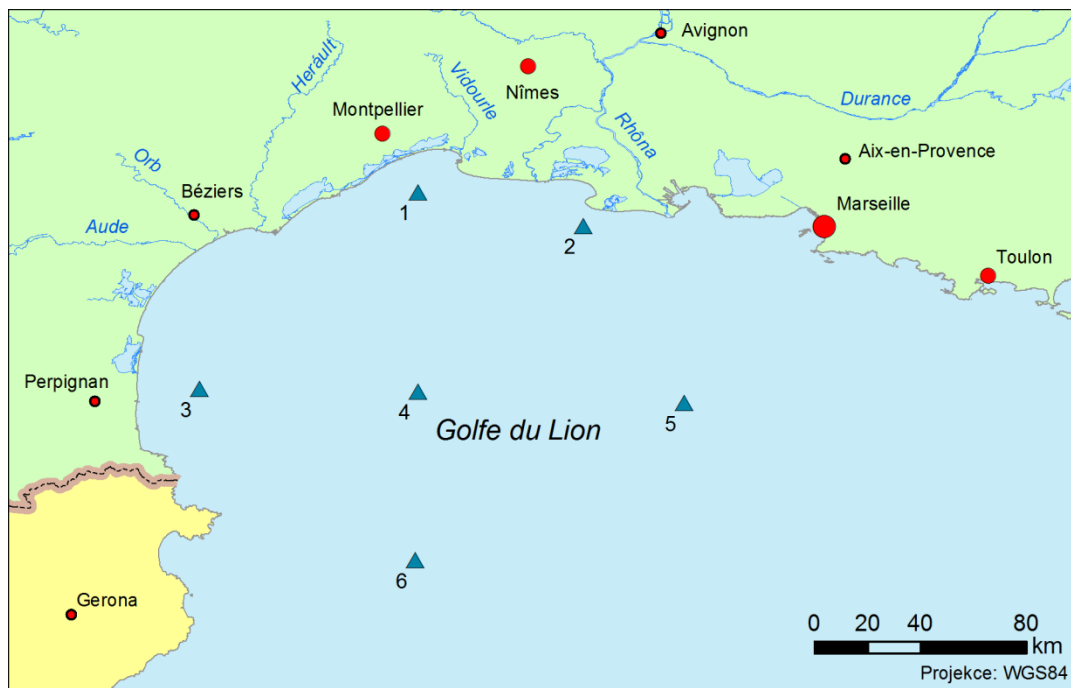
b) Skagerrak a Kattegat



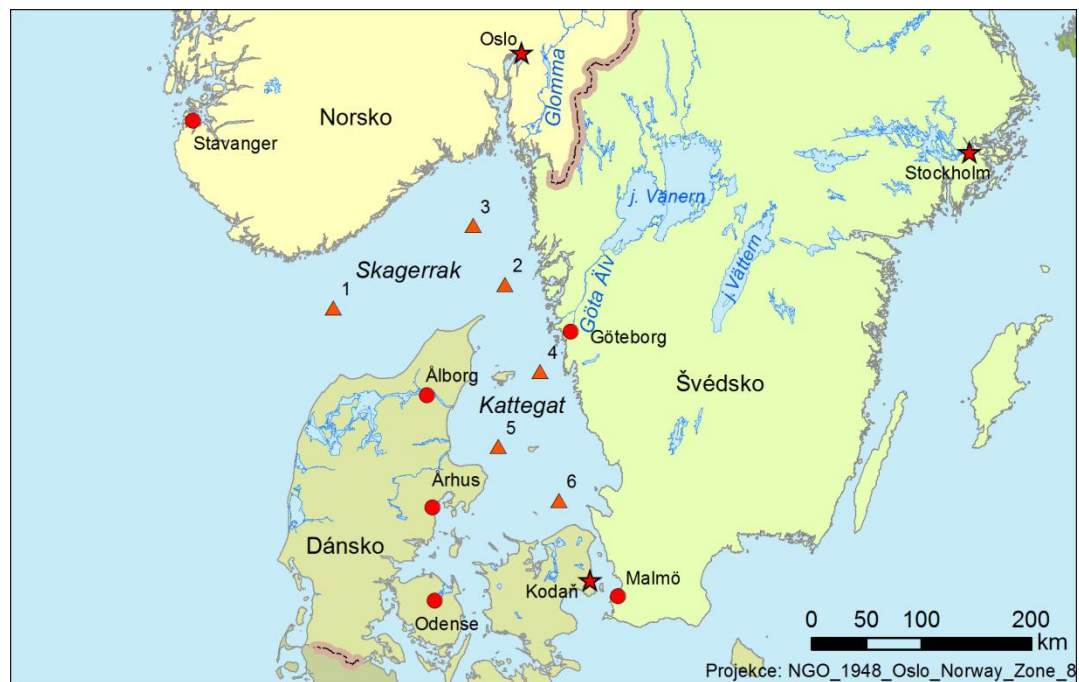
Příloha C: Mapy bodů použitých pro vytvoření časové řady (1), tabulky těchto bodů (2) a grafy časových řad (3).

C1: Mapy bodů pro vytvoření časové řady.

a) Golfe du Lion



b) Skagerrak a Kattegat



C2: Tabulky bodů časové řady pro jednotlivé nástroje

a) Golfe du Lion

Case 2 Regional processor					
bod	duben	květen	červen	srpen	říjen
1	1,85	1,63	0,63	0,38	0,19
2	2,91	1,87	0,78	0,34	0,40
3	1,74	0,99	0,43	0,17	0,15
4	1,34	0,80	0,36	0,13	0,15
5	4,10	2,21	0,79	0,24	0,20
6	1,50	1,09	0,45	0,15	0,14

FUB/Wew Water processor					
bod	duben	květen	červen	srpen	říjen
1	0,153	0,318	0,068	0,175	0,126
2	0,602	0,176	0,112	0,174	0,333
3	0,215	0,186	0,077	0,113	0,210
4	0,196	0,133	0,068	0,078	0,141
5	1,364	0,102	0,063	0,070	0,110
6	0,260	0,324	0,065	0,080	0,185

FLH/MCI processor					
bod	duben	květen	červen	srpen	říjen
1	-0,000211	0,000104	-0,000935	-0,000086	-0,000512
2	0,000277	0,000186	-0,000364	0,000233	-0,000261
3	-0,000344	-0,000237	-0,000262	-0,000077	-0,000503
4	-0,000431	-0,000052	-0,000318	0,000019	-0,000070
5	0,000780	-0,000354	-0,000644	0,000018	-0,000598
6	-0,000587	-0,000174	-0,000505	-0,000295	-0,001018

b) Skagerrak a Kattegat

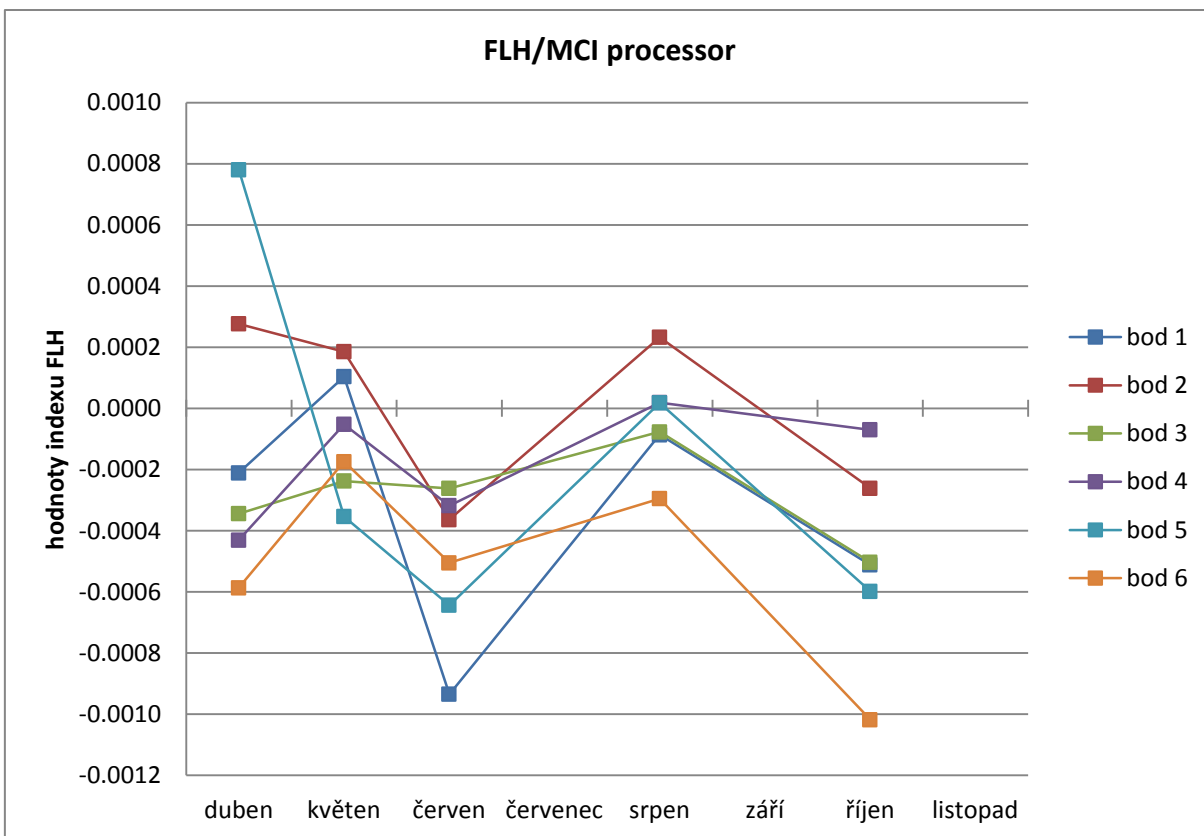
Case 2 Regional processor					
bod	květen	červen	červenec	srpen	zaří
1	0,813	1,010	1,754	0,468	2,238
2	4,035	1,700	1,600	1,435	5,078
3	1,520	0,898	1,940	0,842	2,875
4	3,867	1,173	2,766	1,481	4,514
5	3,567	1,354	2,543	1,594	5,976
6	4,338	1,668	2,372	1,994	7,215

FUB/Wew Water processor					
bod	květen	červen	červenec	srpen	zaří
1	0,198	0,280	0,474	0,164	0,254
2	0,502	0,564	0,431	0,258	0,616
3	0,332	0,204	0,516	0,176	0,250
4	0,858	0,383	0,551	0,316	0,811
5	0,830	0,583	0,832	0,306	1,140
6	0,902	0,700	0,631	0,475	1,002

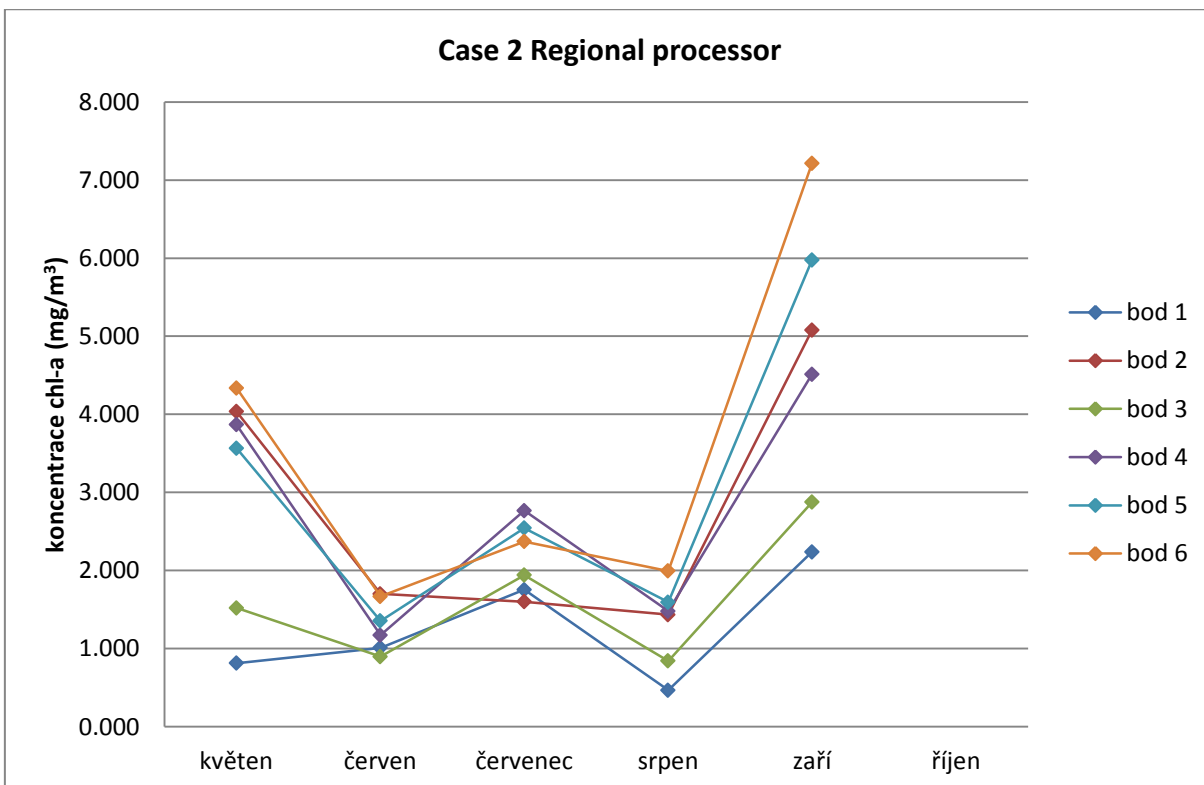
FLH/MCI processor					
bod	květen	červen	červenec	srpen	zaří
1	0,000006	-0,000316	-0,000515	-0,000521	-0,001055
2	-0,000451	0,000030	-0,001019	-0,000267	-0,000237
3	-0,000268	-0,000283	-0,000706	-0,000163	-0,000486
4	-0,000051	0,000276	-0,000437	0,000024	-0,000602
5	0,000093	0,000274	-0,000249	-0,000065	-0,000185
6	0,000022	0,000118	-0,000246	-0,000080	-0,000567

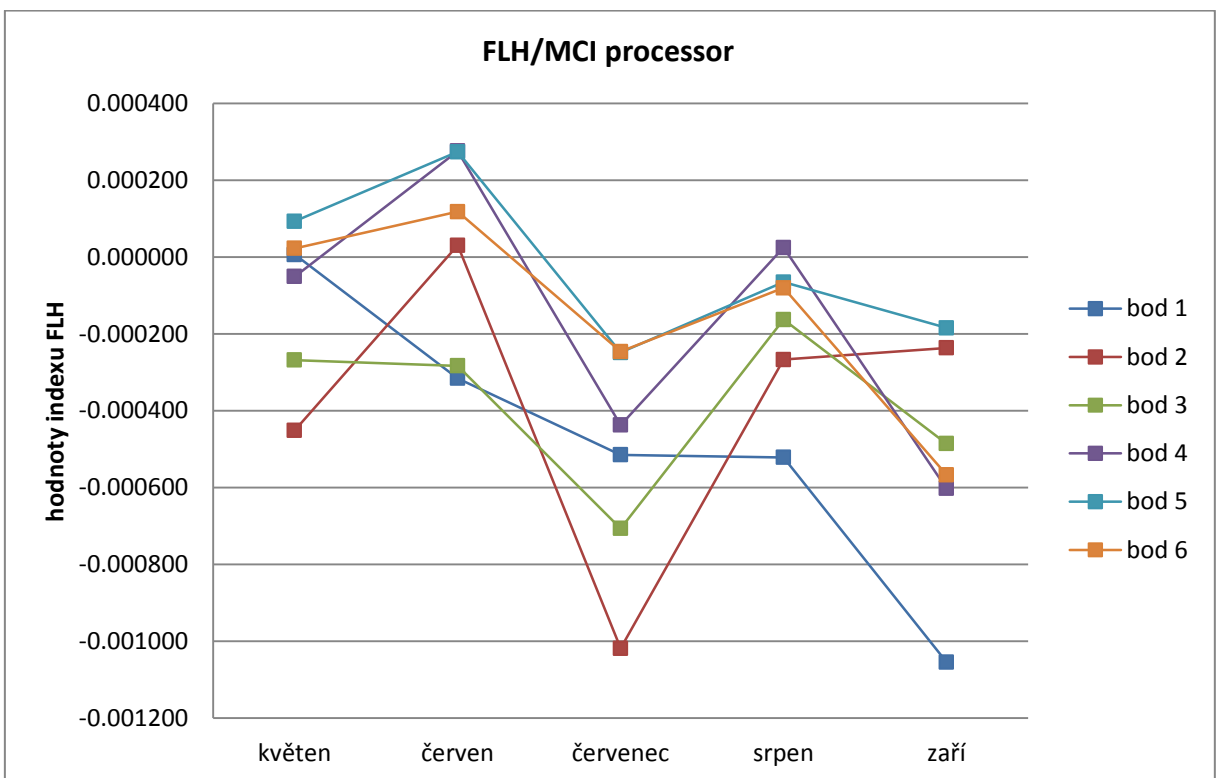
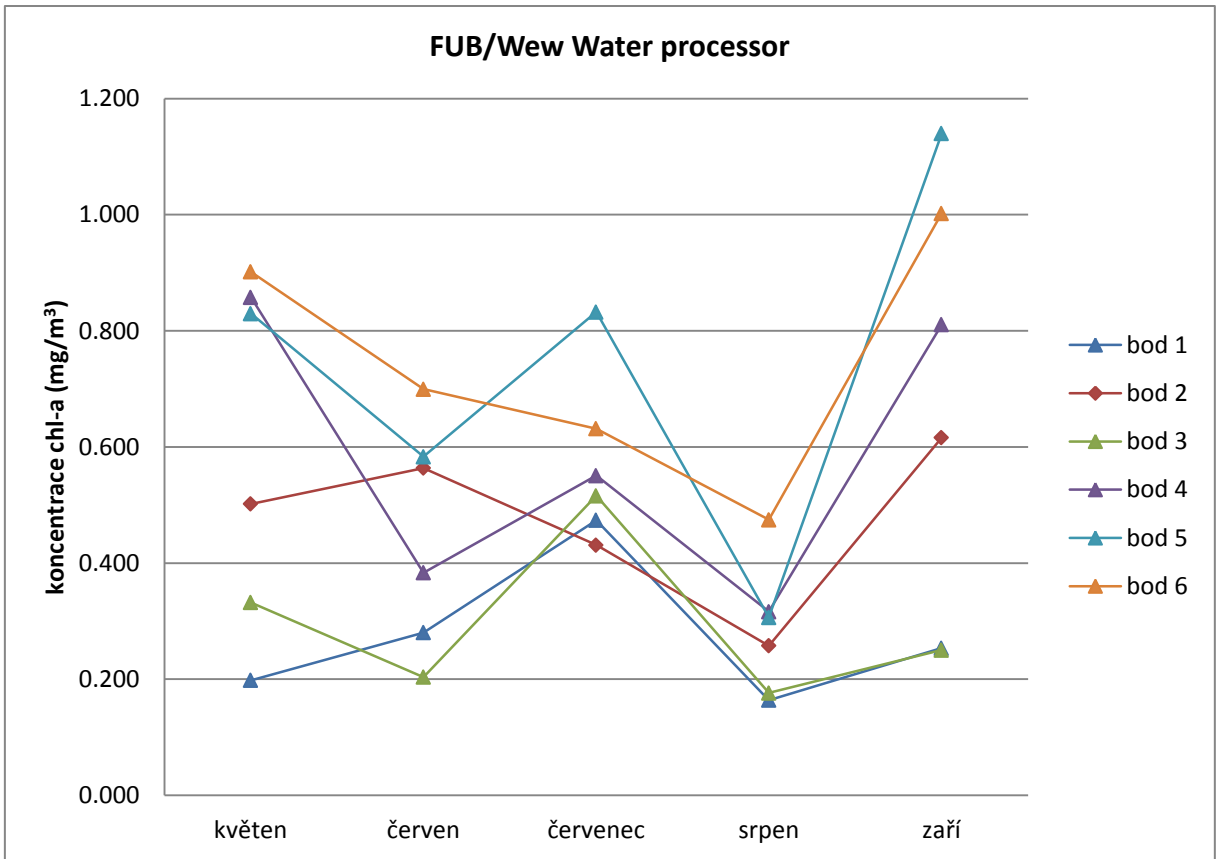




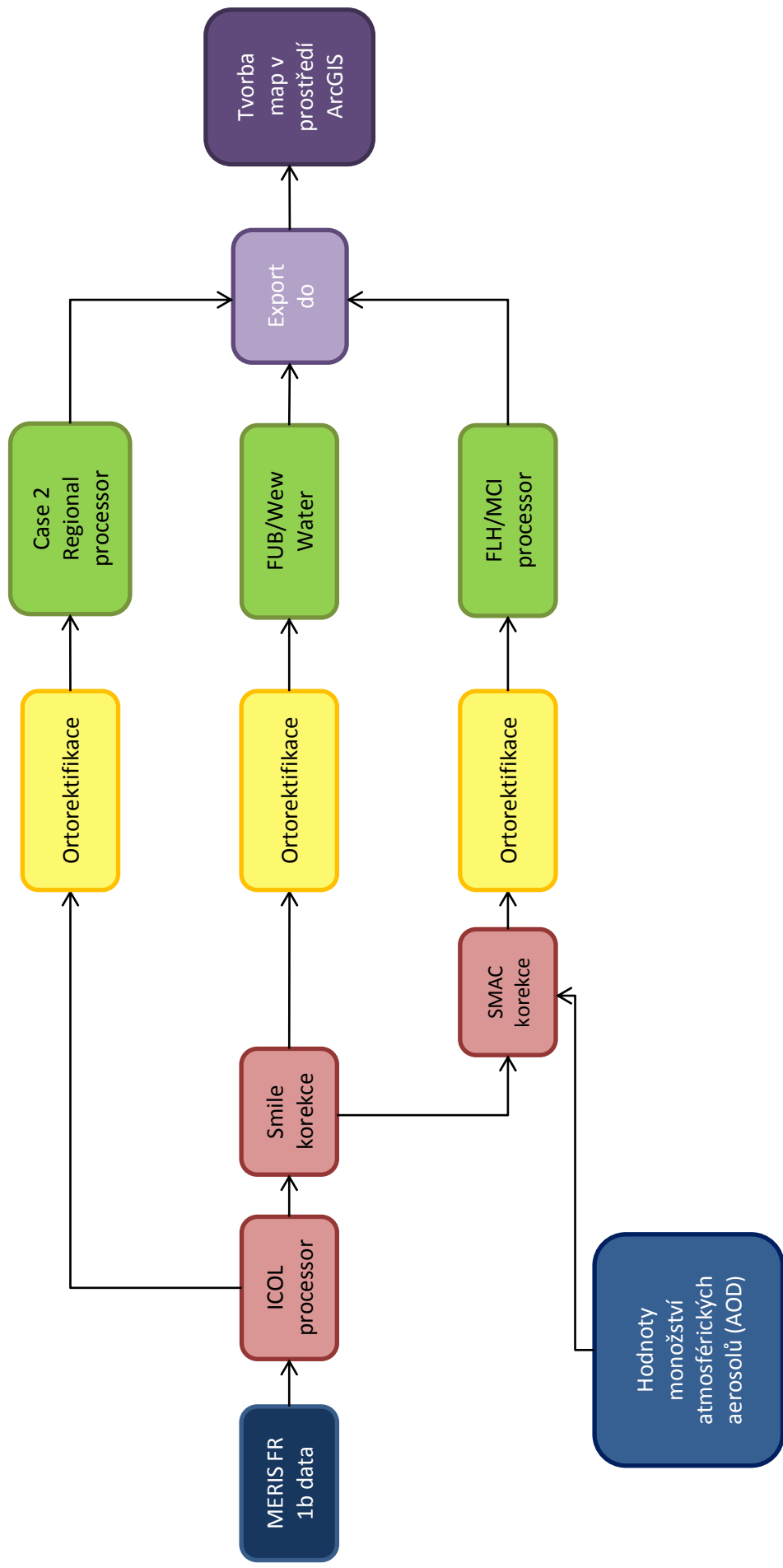


a) Skagerrak a Kattegat



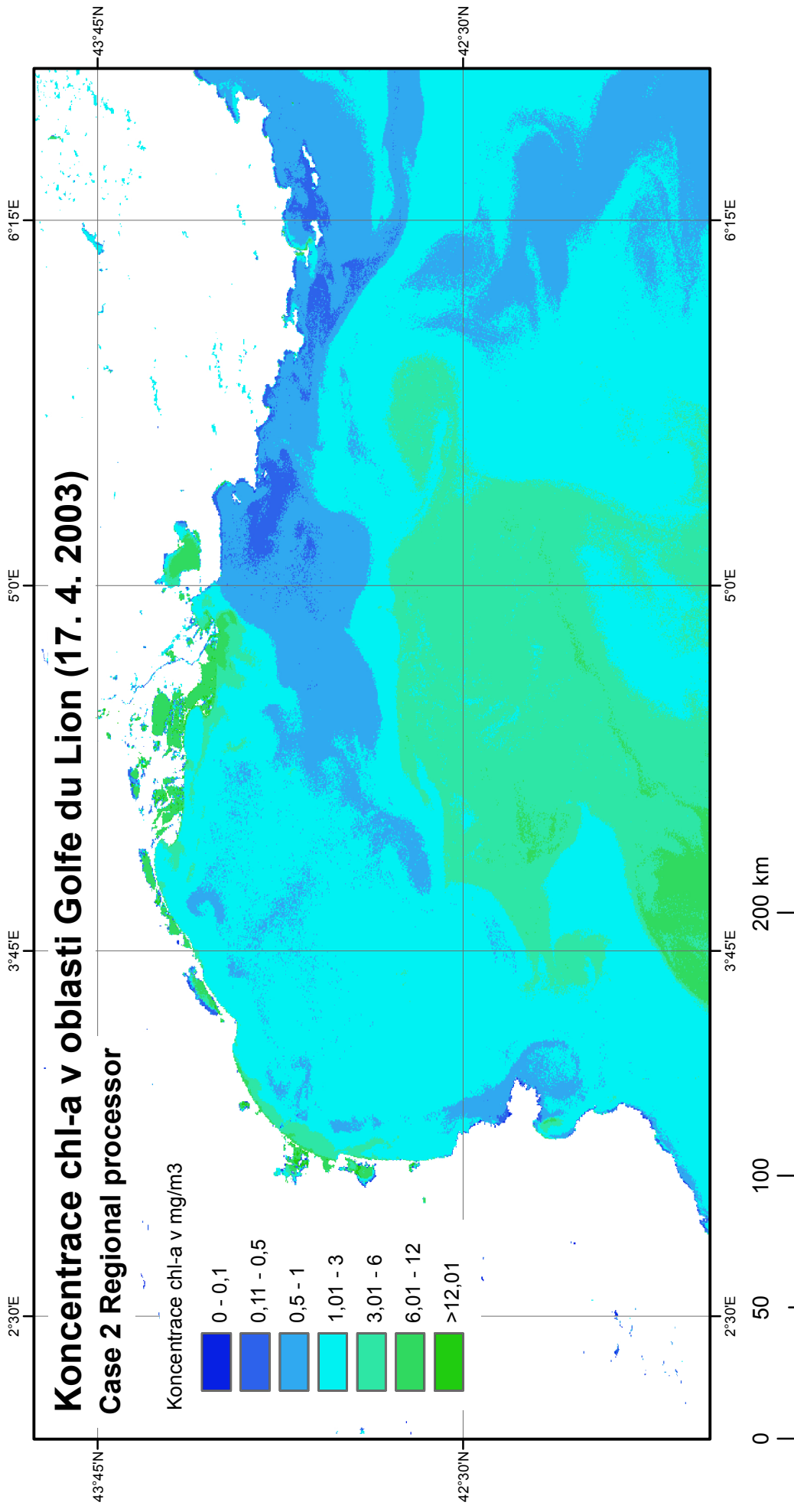


Příloha C: Blokový diagram zpracování dat v SW BEAM a ArcGIS

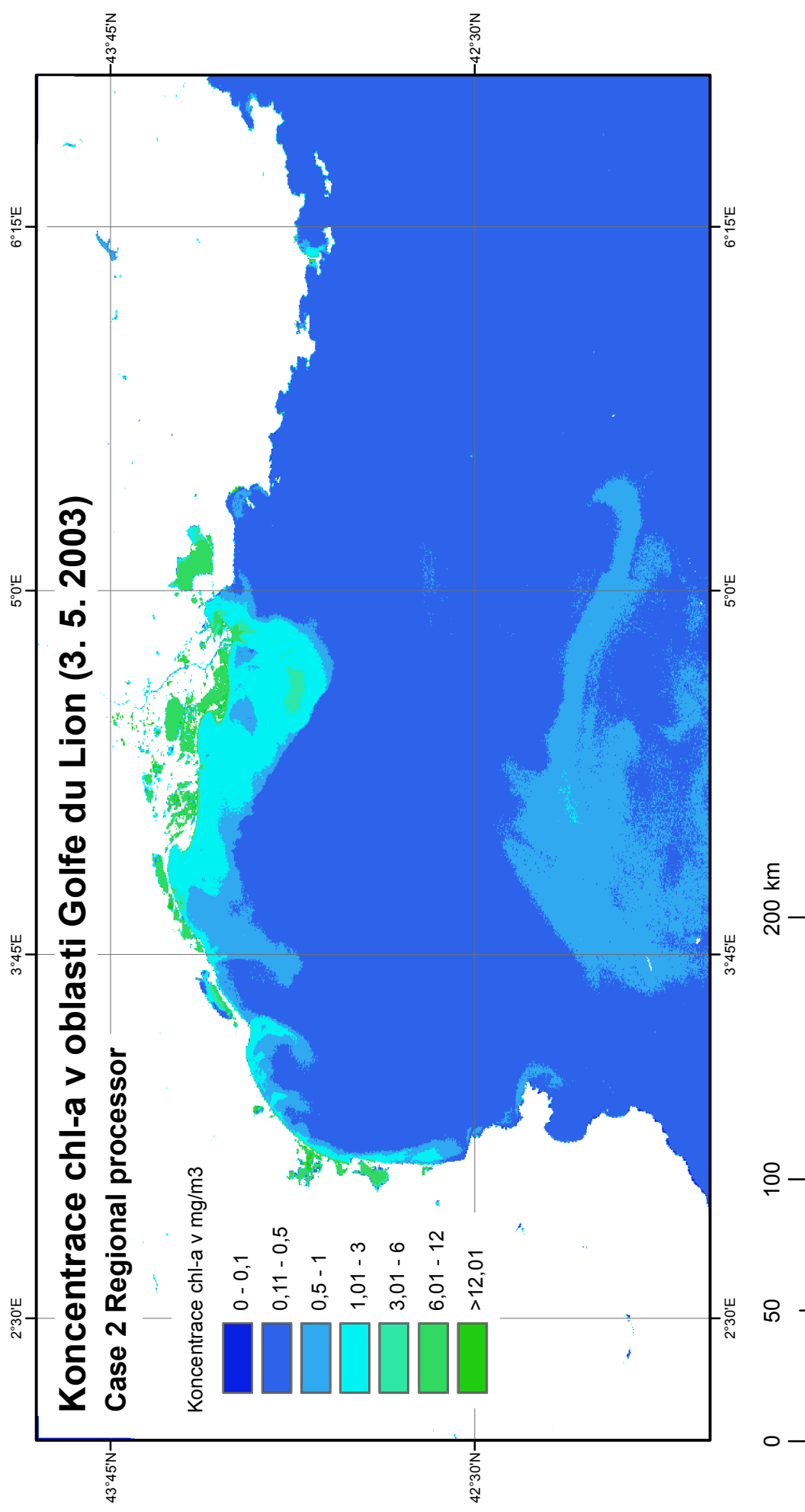


Příloha E: Výsledné mapy zobrazující rozložení chl-a v oblasti Golfe du Lion pro 5 snímků MERIS z období duben až říjen 2003, zpracované pomocí nástroje Case 2 Regional processor.

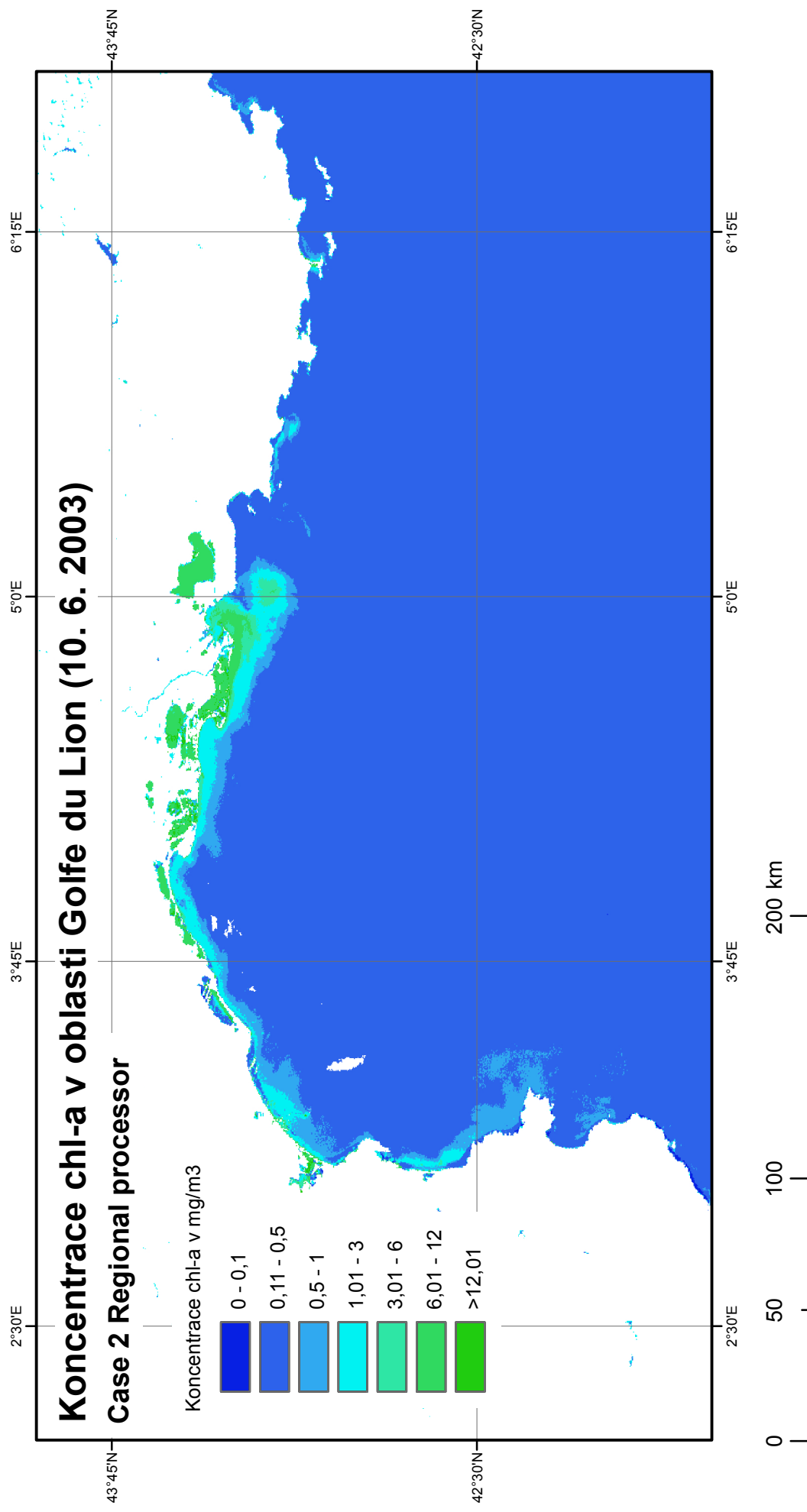
Mapa E1



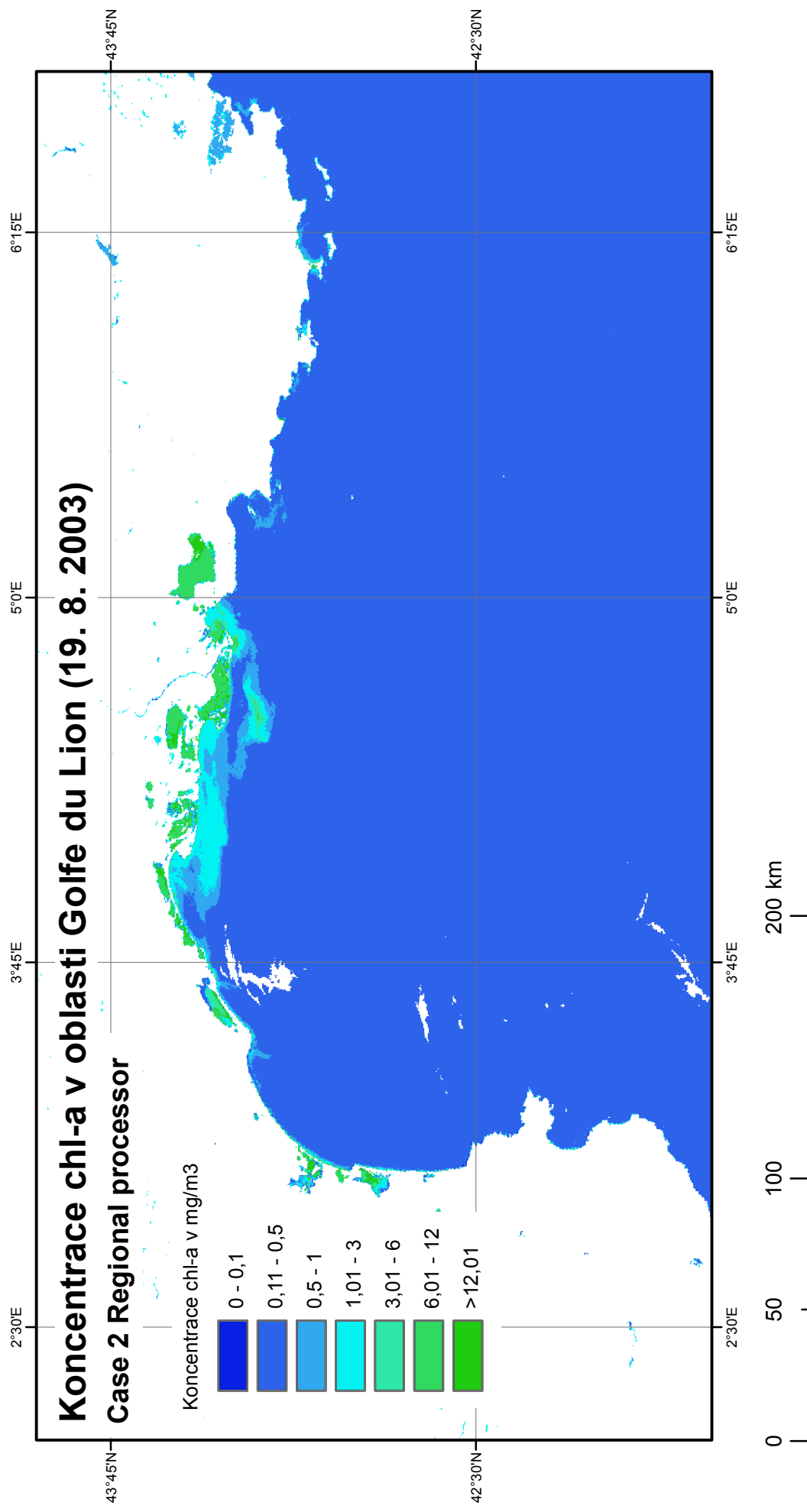
Mapa E2



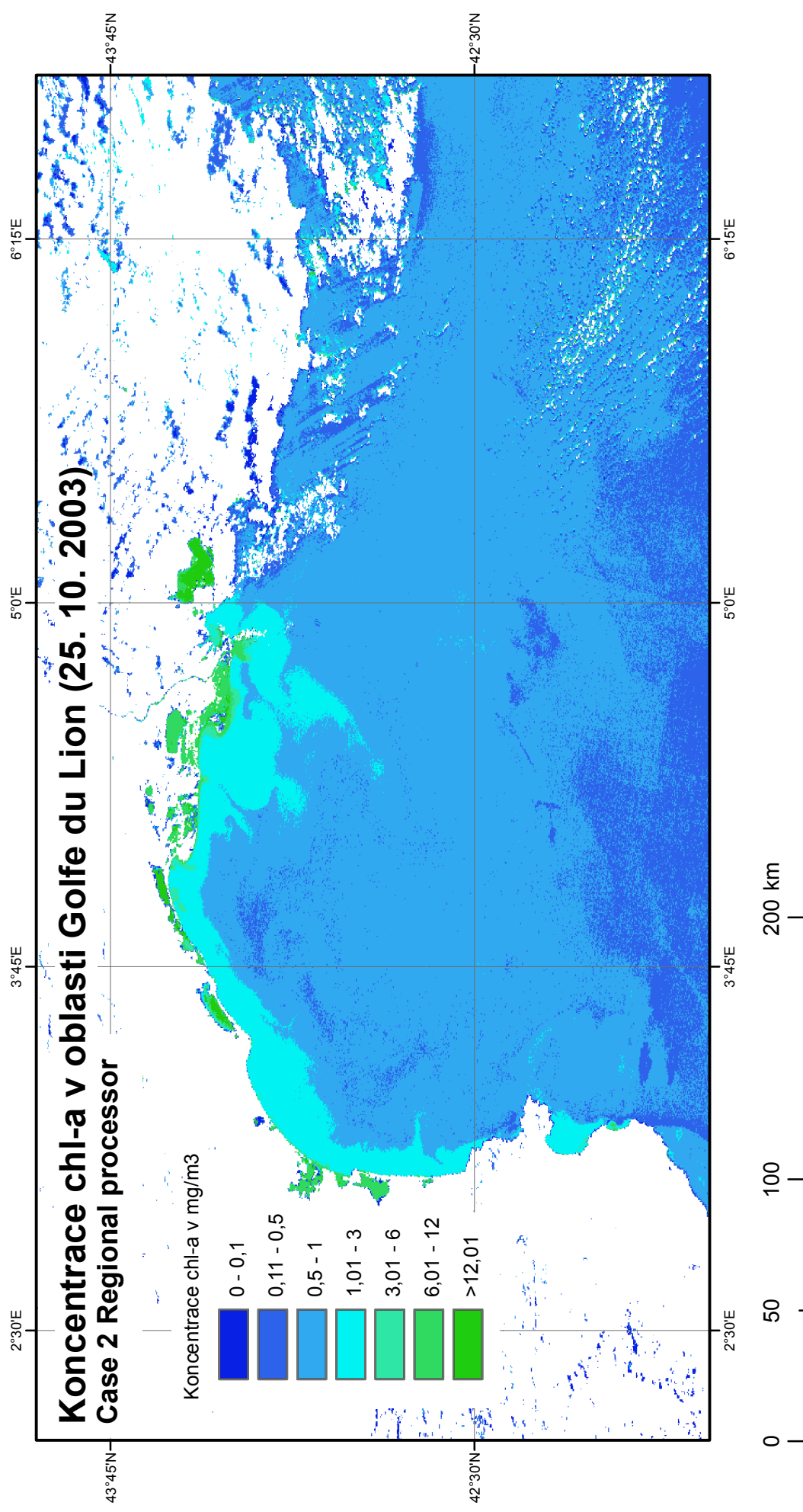
Mapa E3



Mapa E4



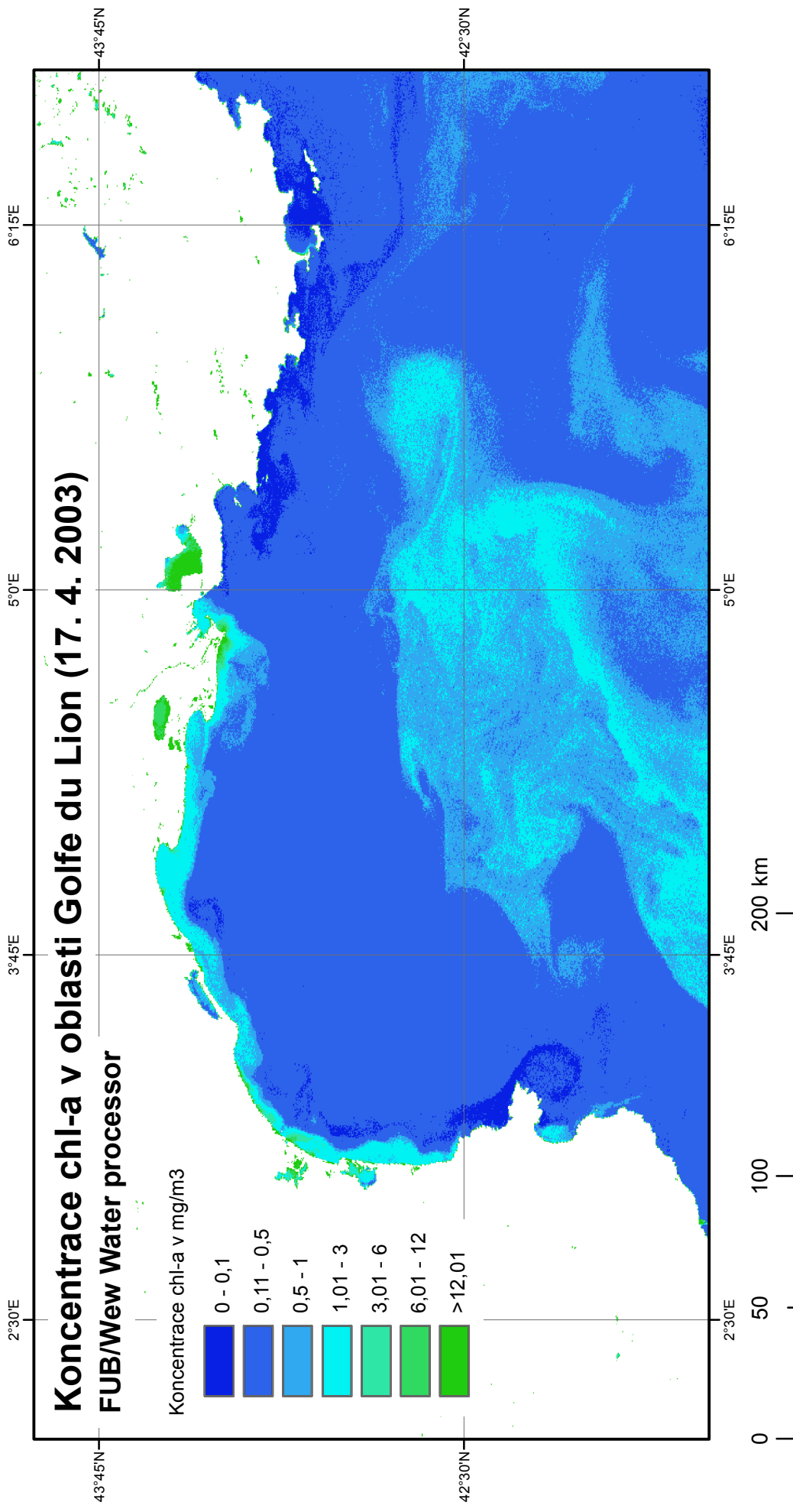
Mapa E5



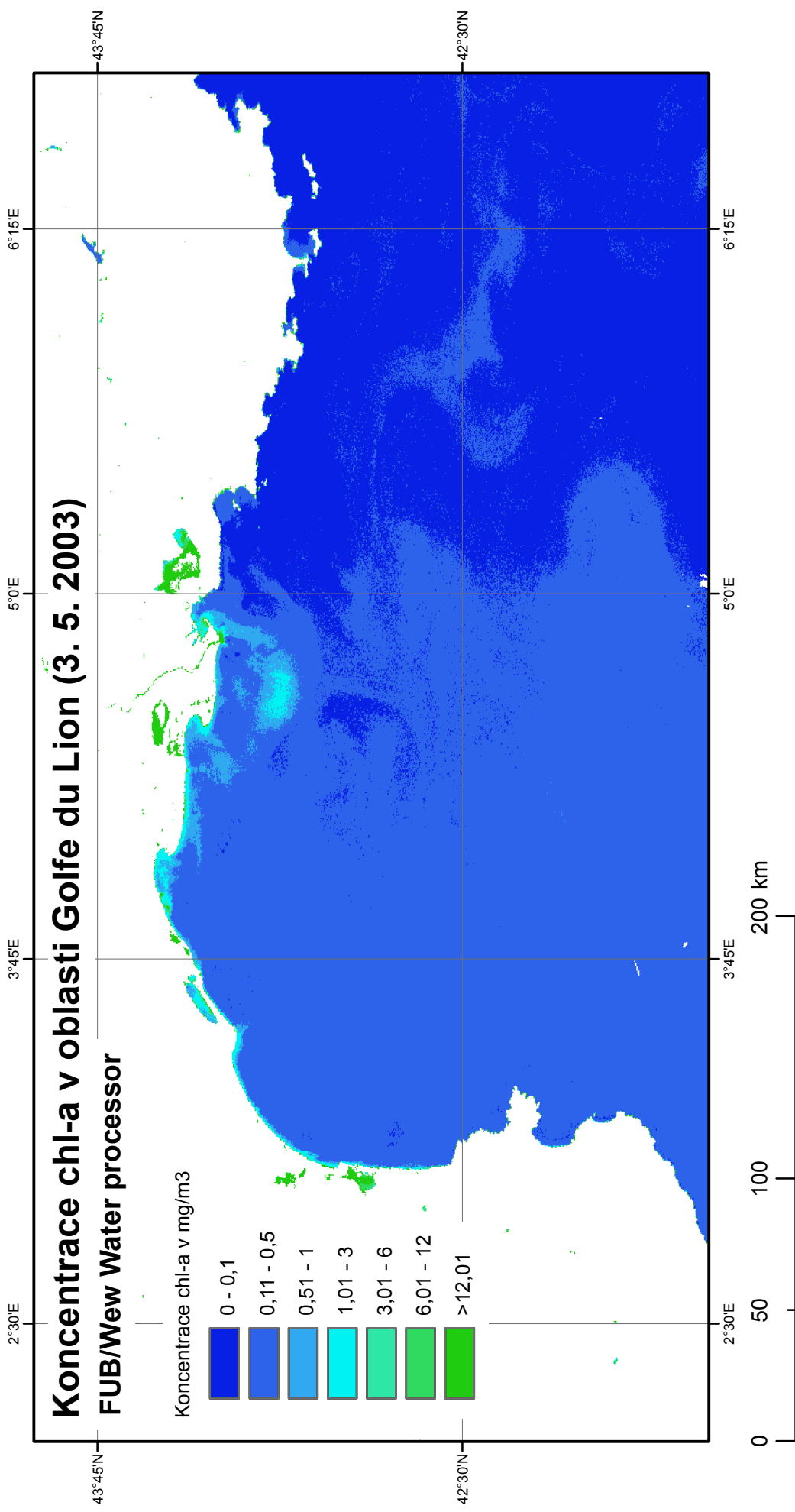


Příloha F: Výsledné mapy zobrazující rozložení chl-a v oblasti Golfe du Lion pro 5 snímků MERIS z období duben až říjen 2003, zpracované pomocí nástroje FUB/Wew Water processor.

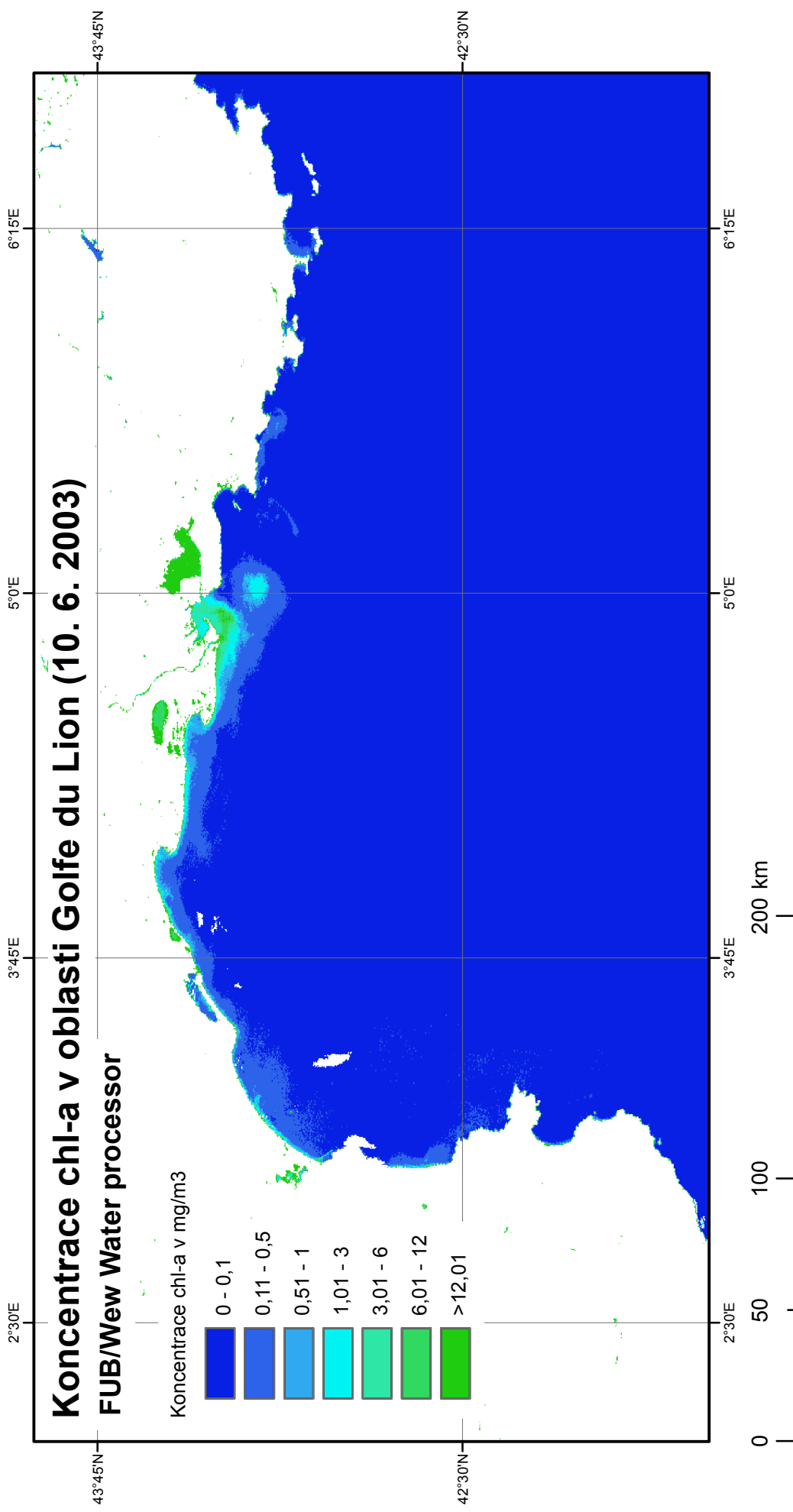
Mapa F1



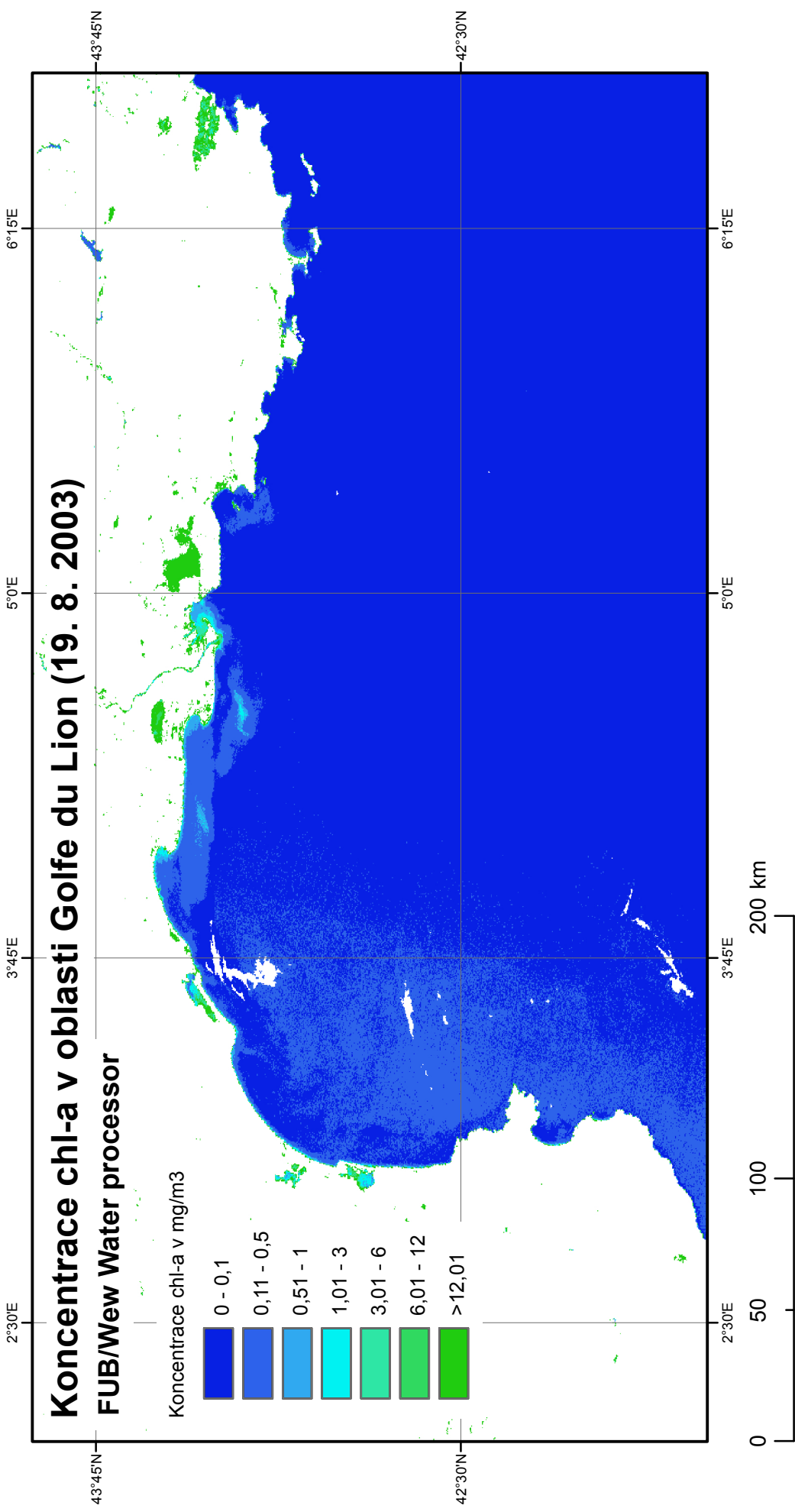
Mapa F2



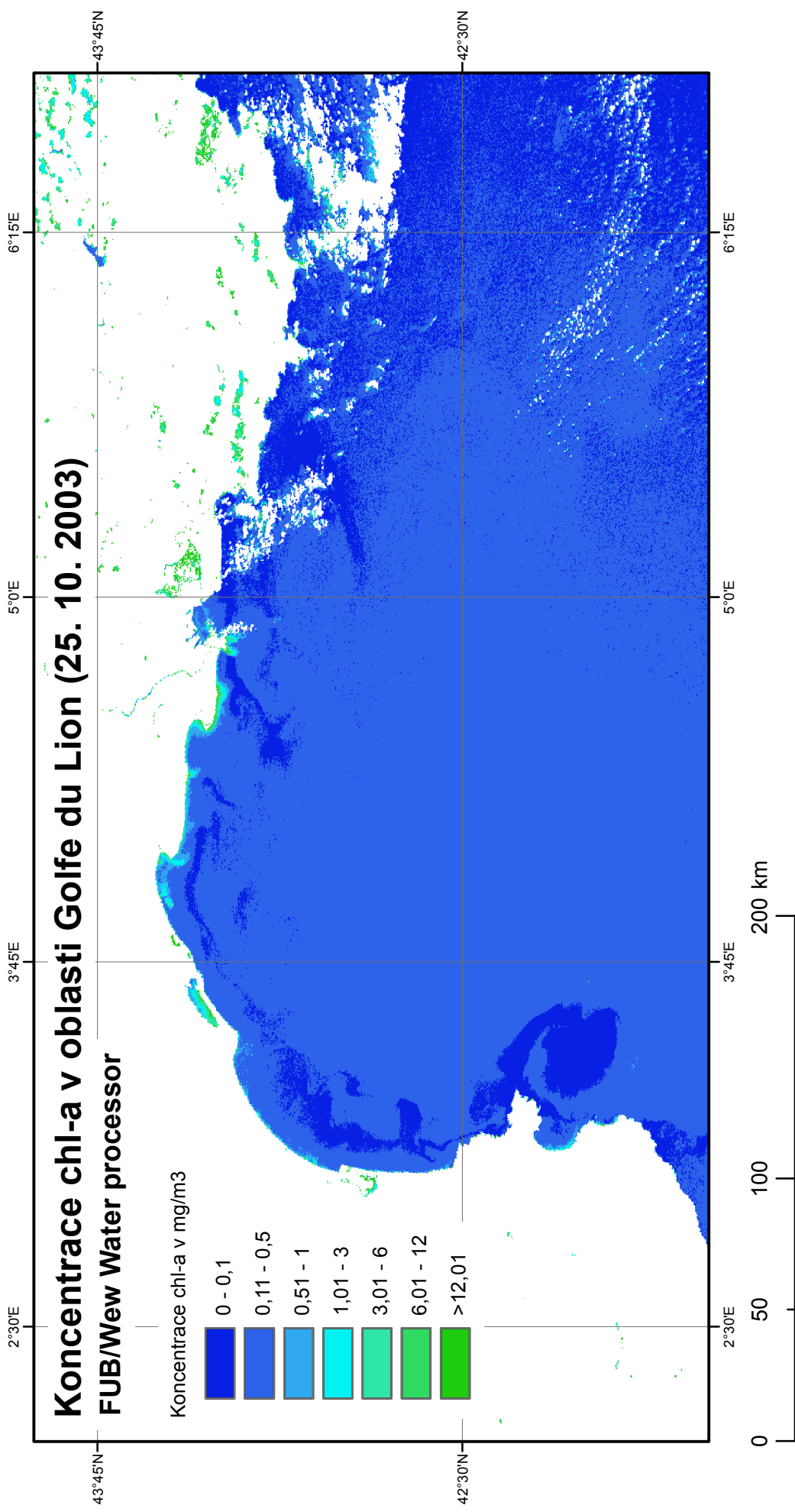
Mapa F3



Mapa F4

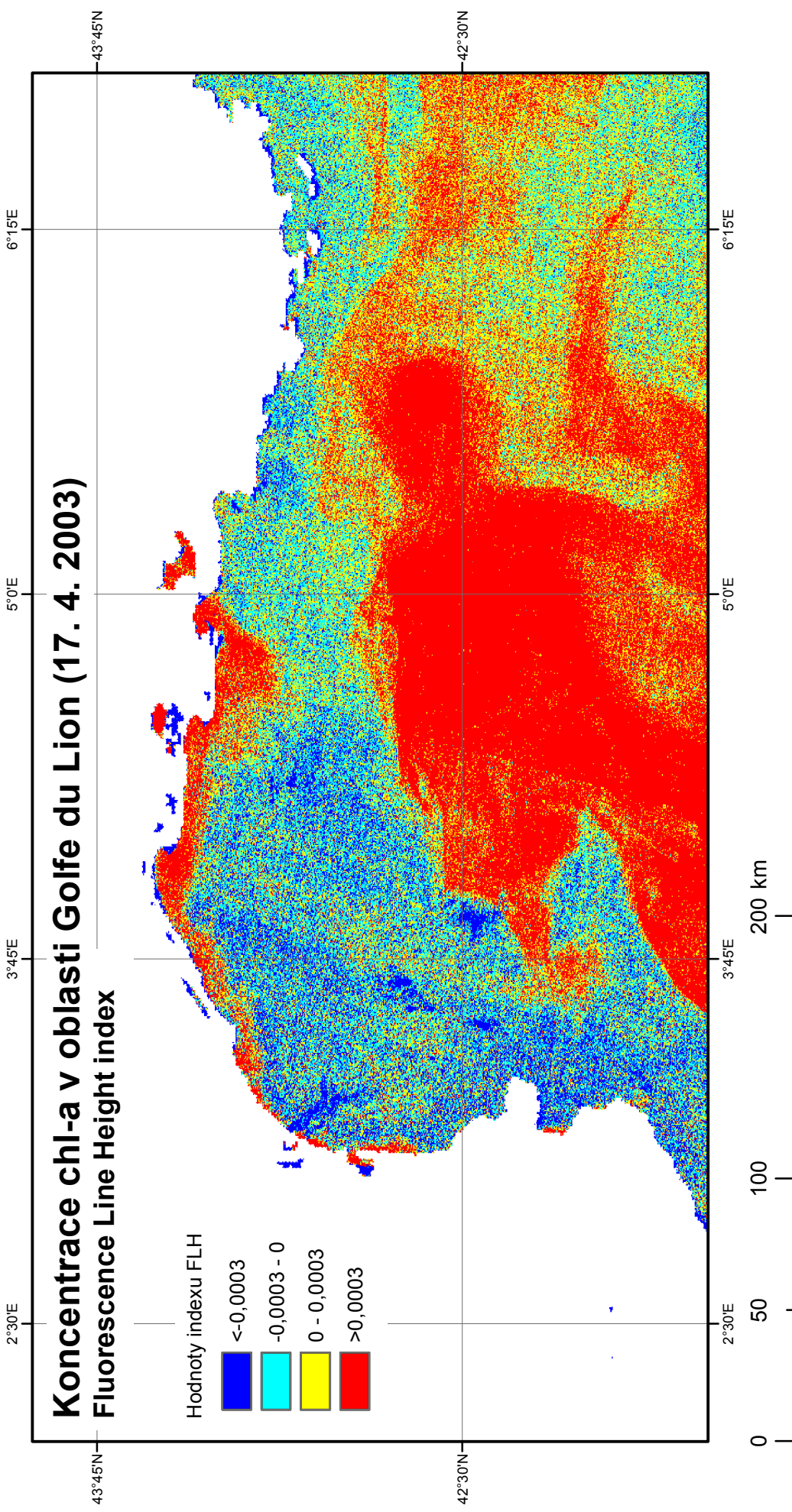


Mapa F5

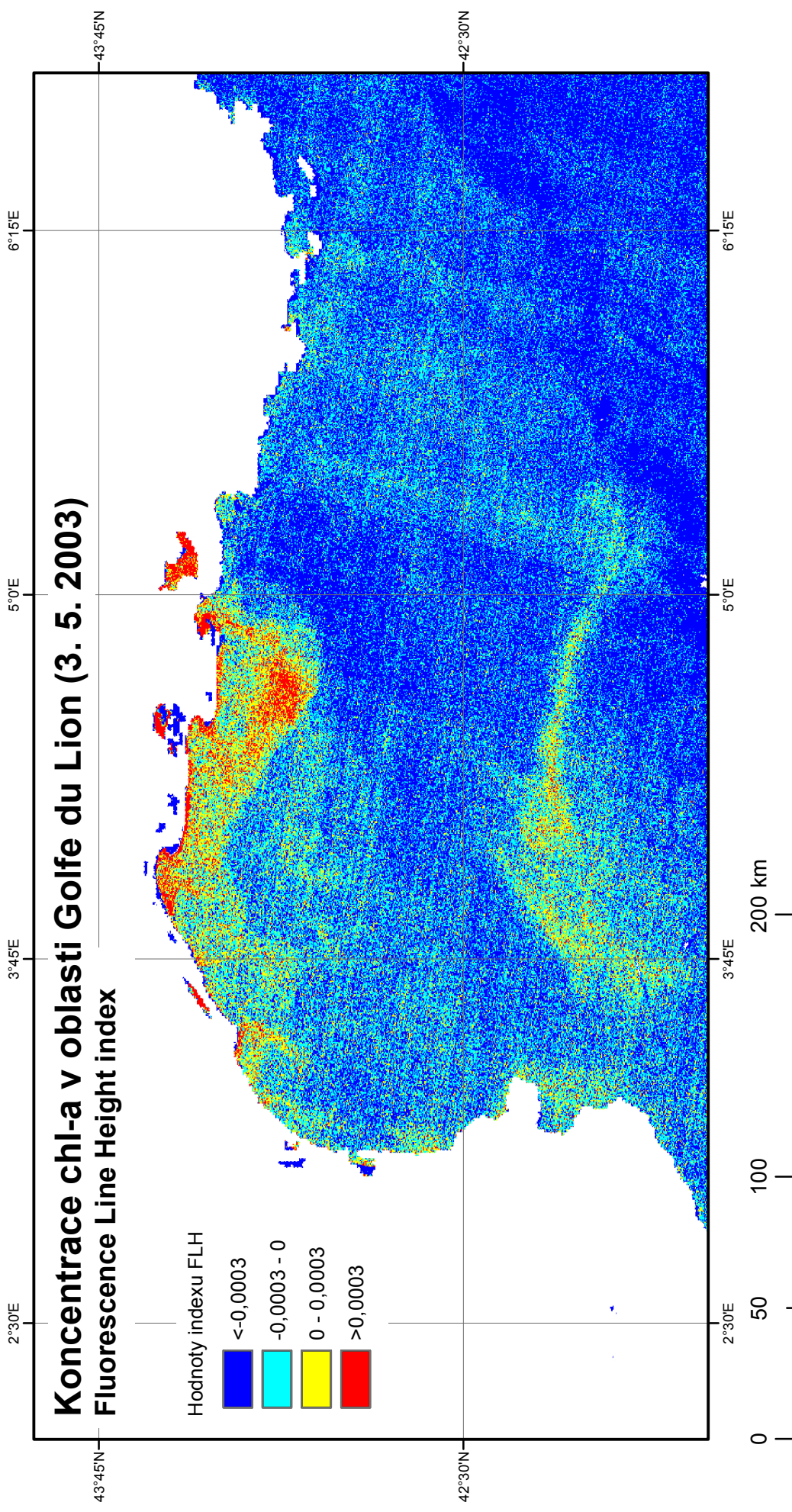


Příloha G: Výsledné mapy zobrazující rozložení chl-a v oblasti Golfe du Lion pro 5 snímků MERIS z období duben až říjen 2003, zpracované pomocí nástroje FLH/MCI Processor. Vyšší hodnoty indexu FLH korespondují s vyšším obsahem chl-a ve vodě.

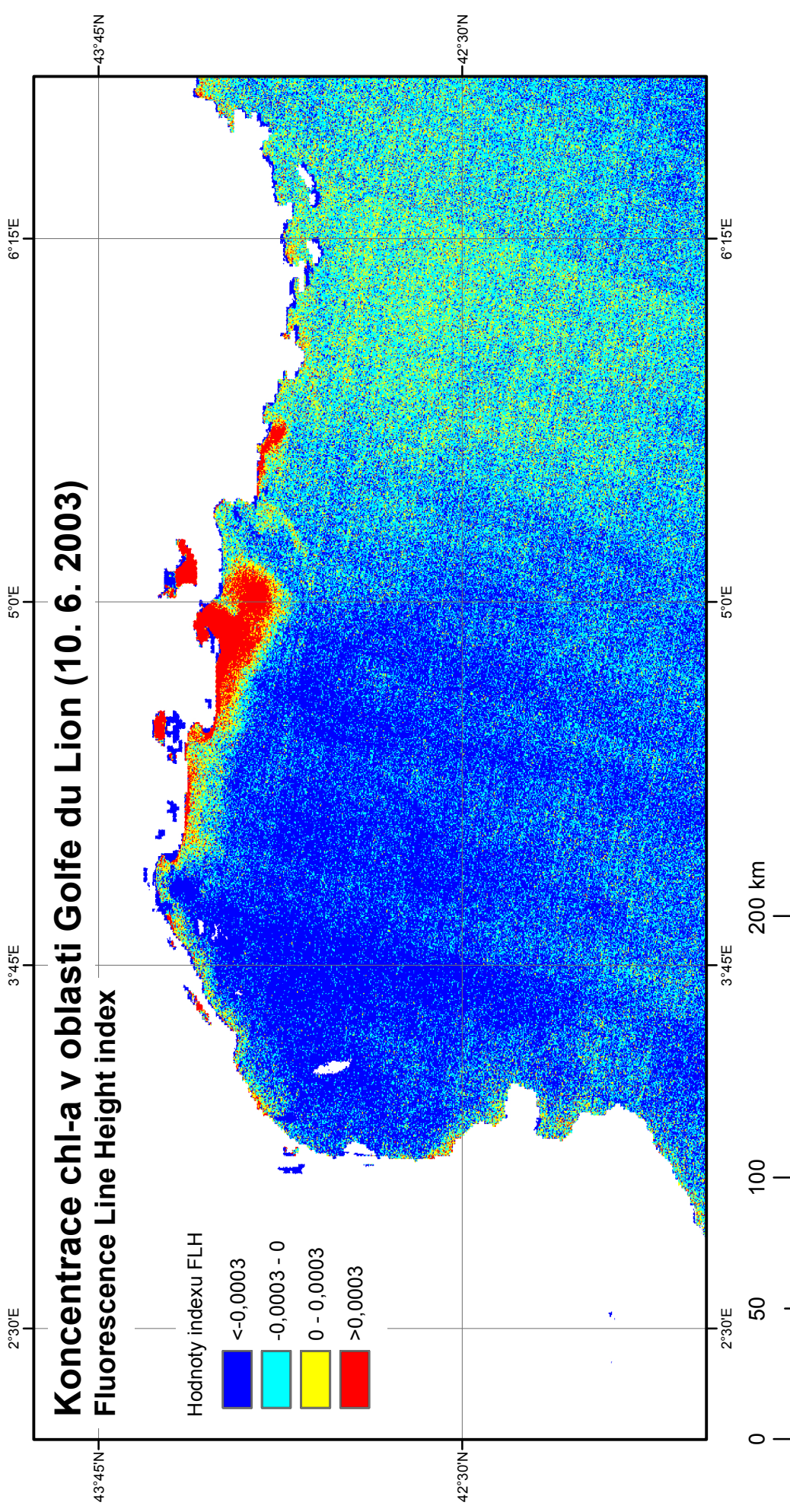
Mapa G1



Mapa G2

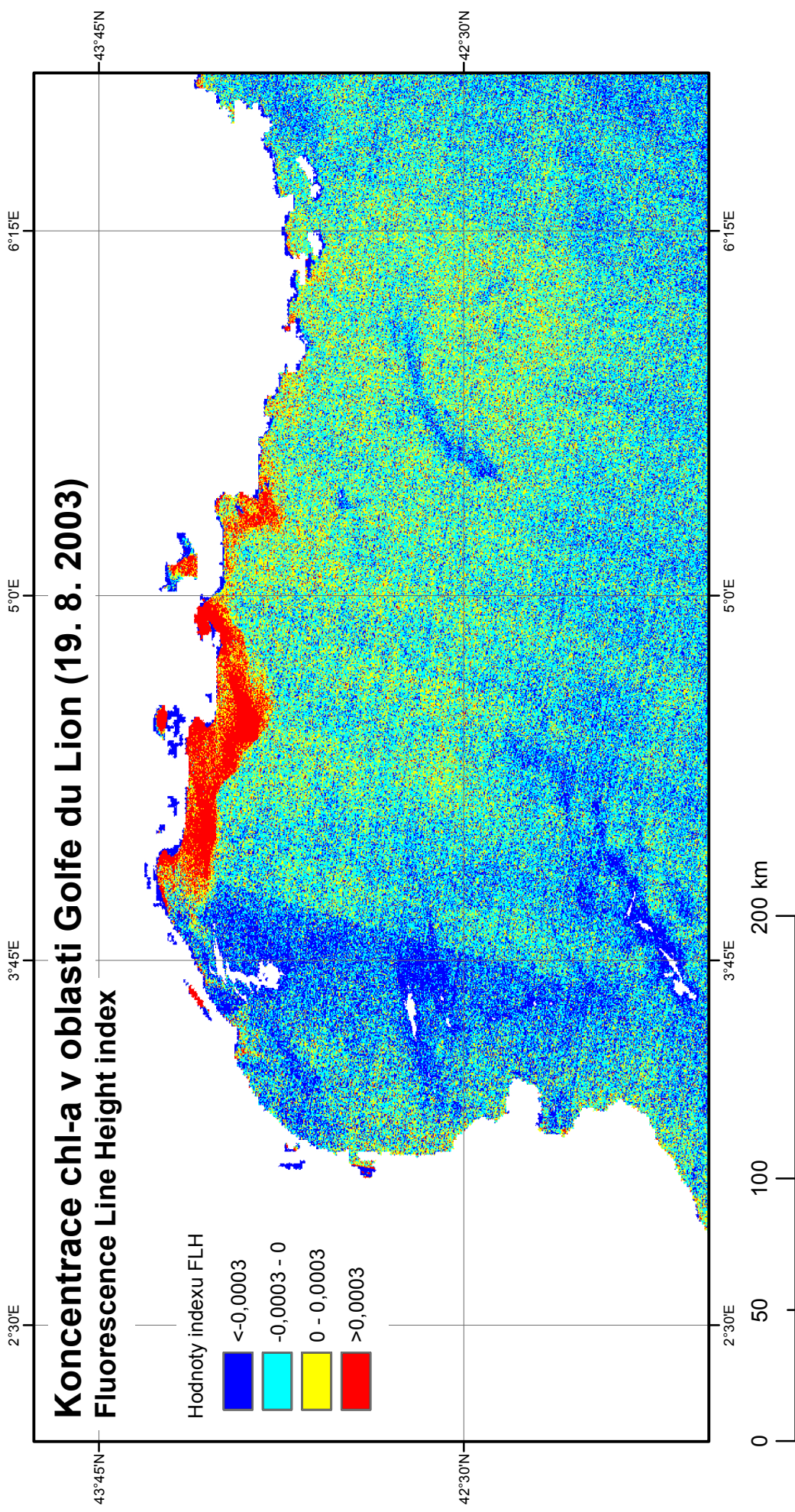


Mapa G3

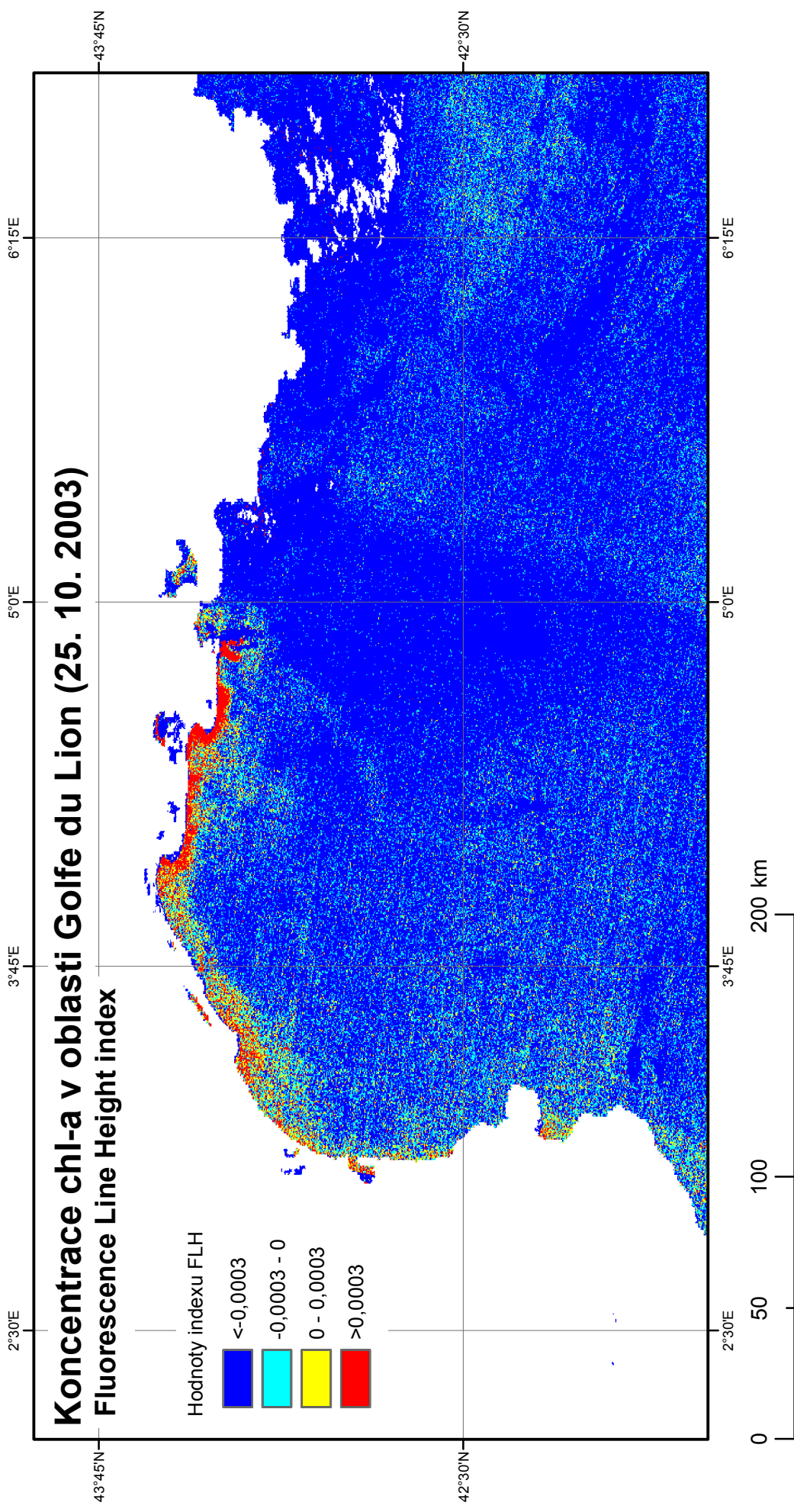




Mapa G4

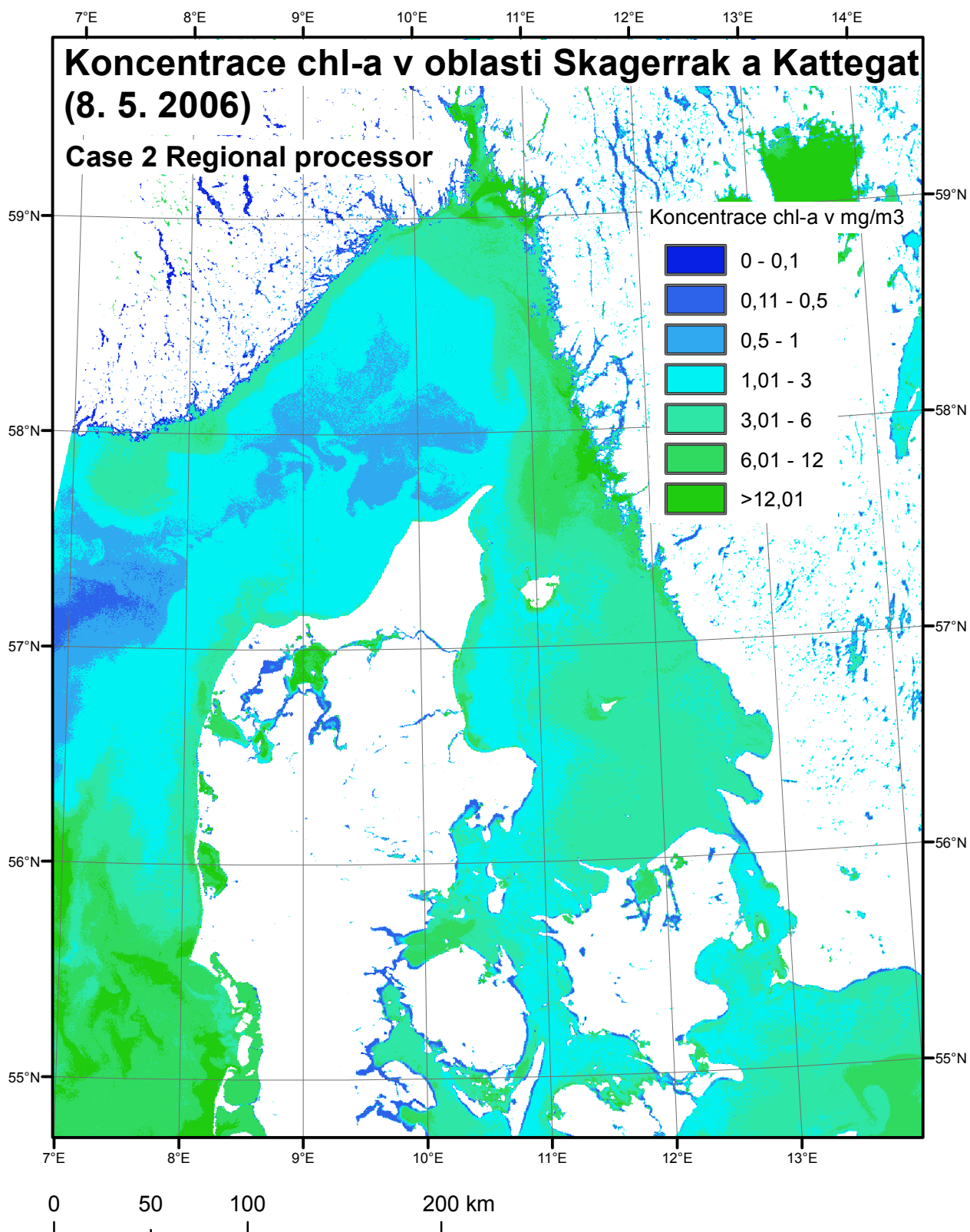


Mapa G5

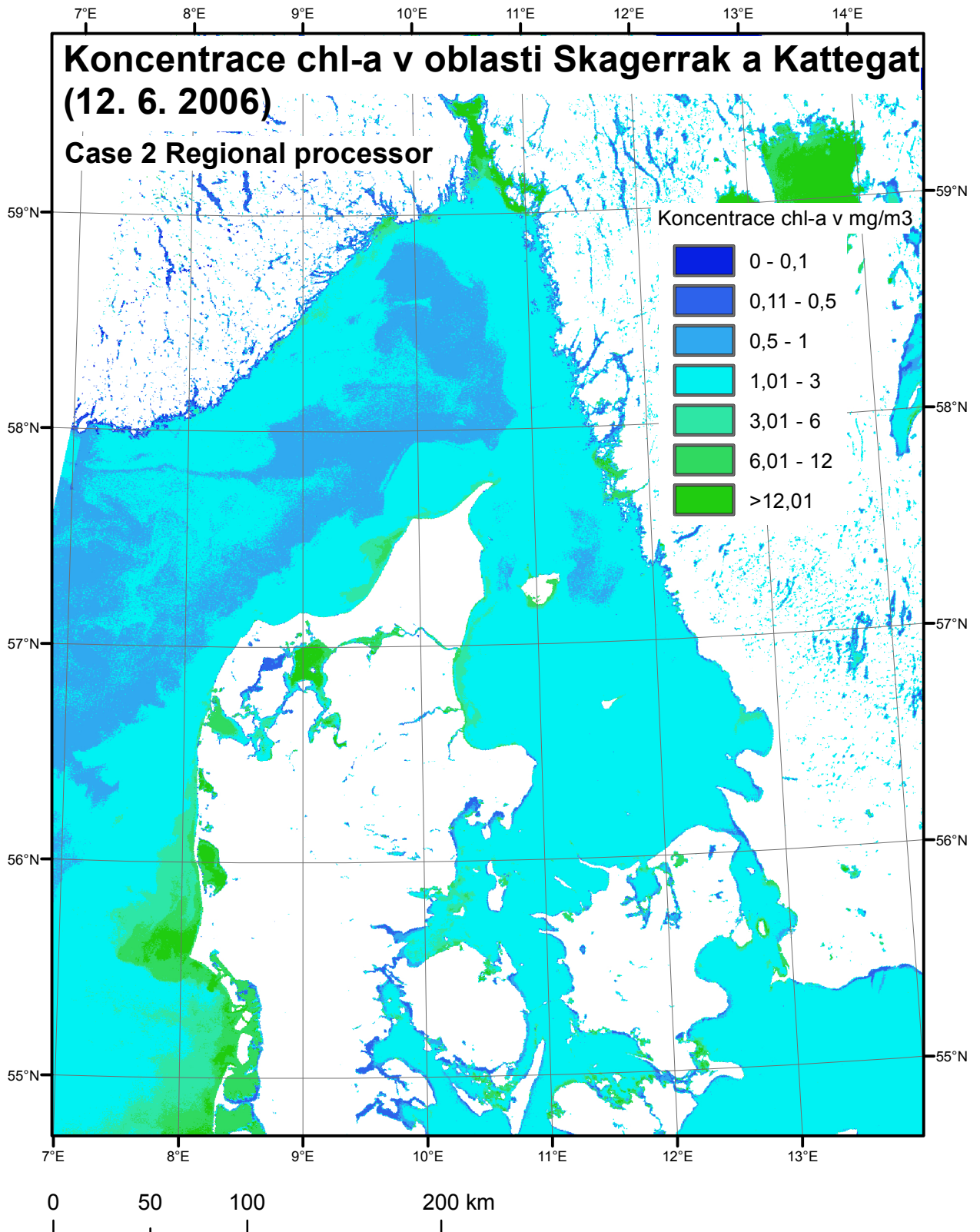


Příloha H: Výsledné mapy zobrazující rozložení chl-a v oblasti průlivů Skagerrak a Kattegat pro 5 snímků MERIS z období květen až září 2003, zpracované pomocí nástroje Case 2 Regional processor.

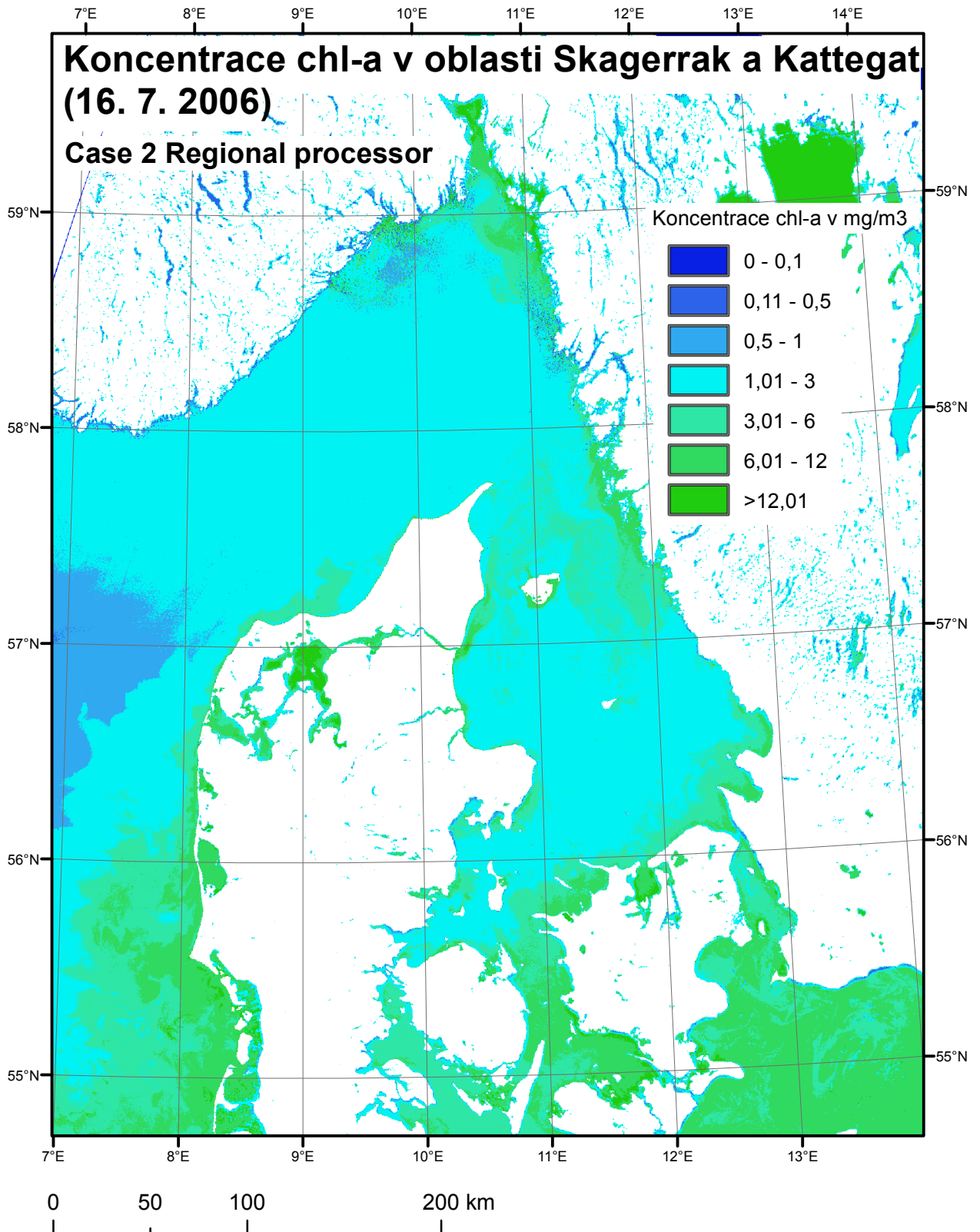
Mapa H1



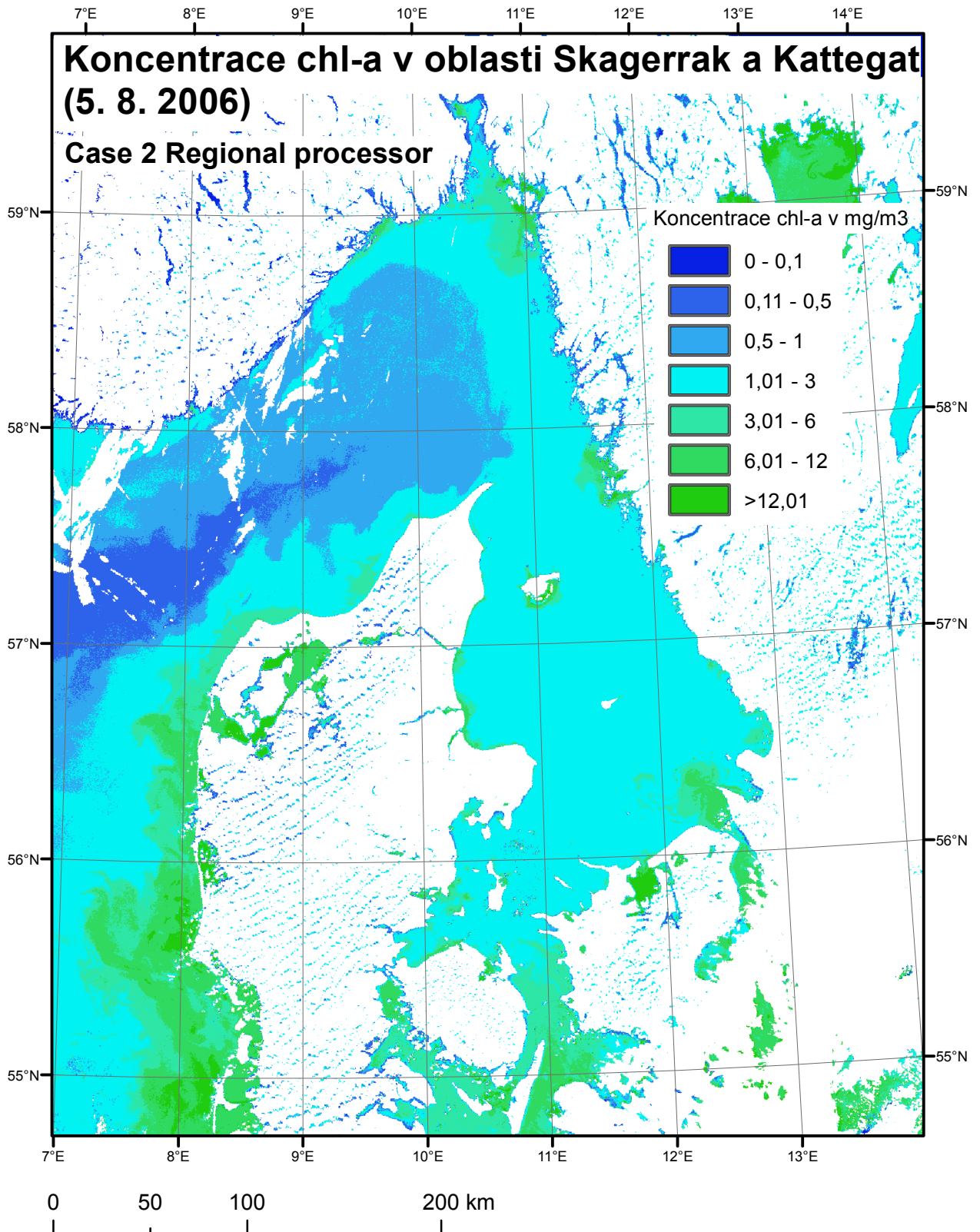
Mapa H2



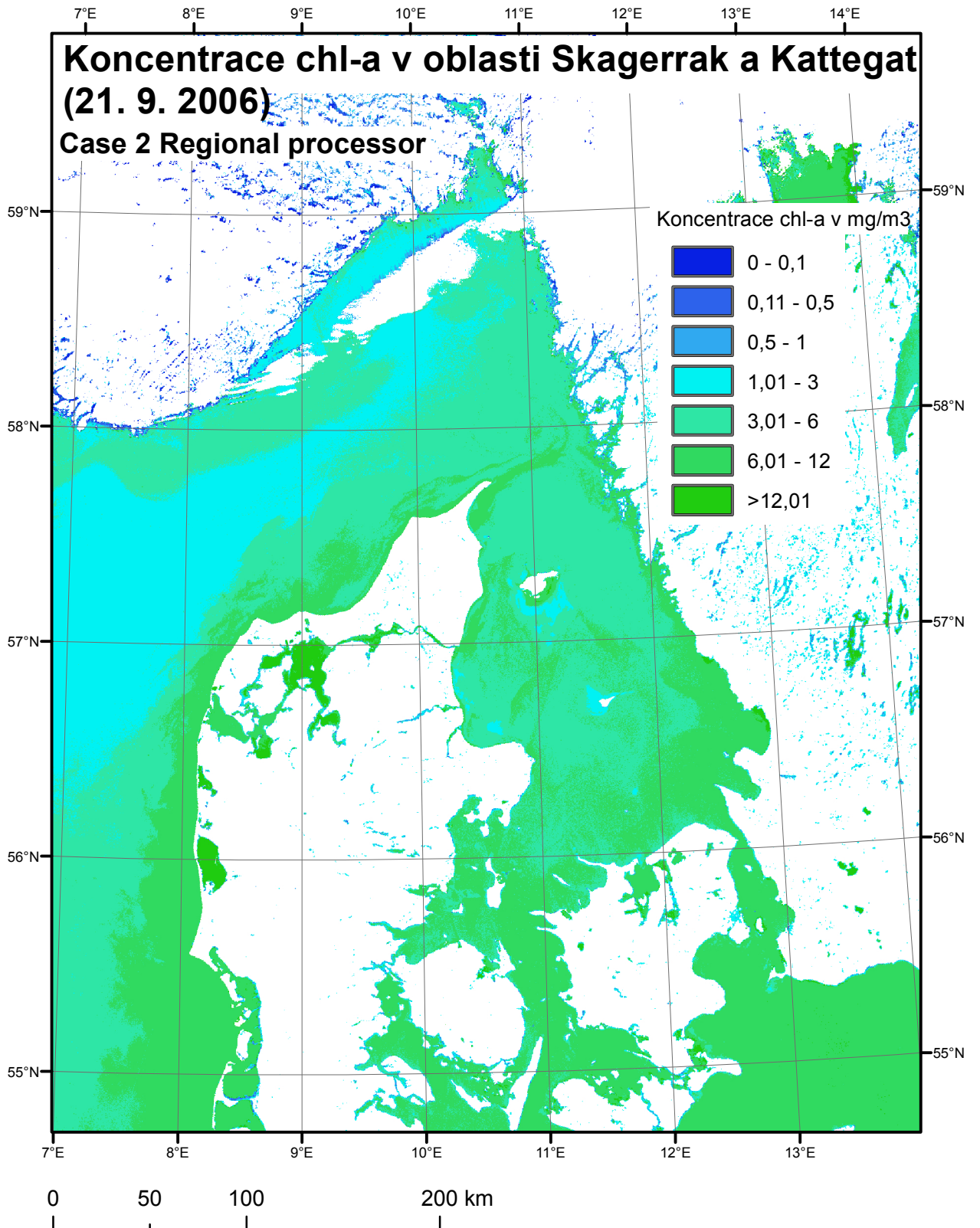
Mapa H3



Mapa H4

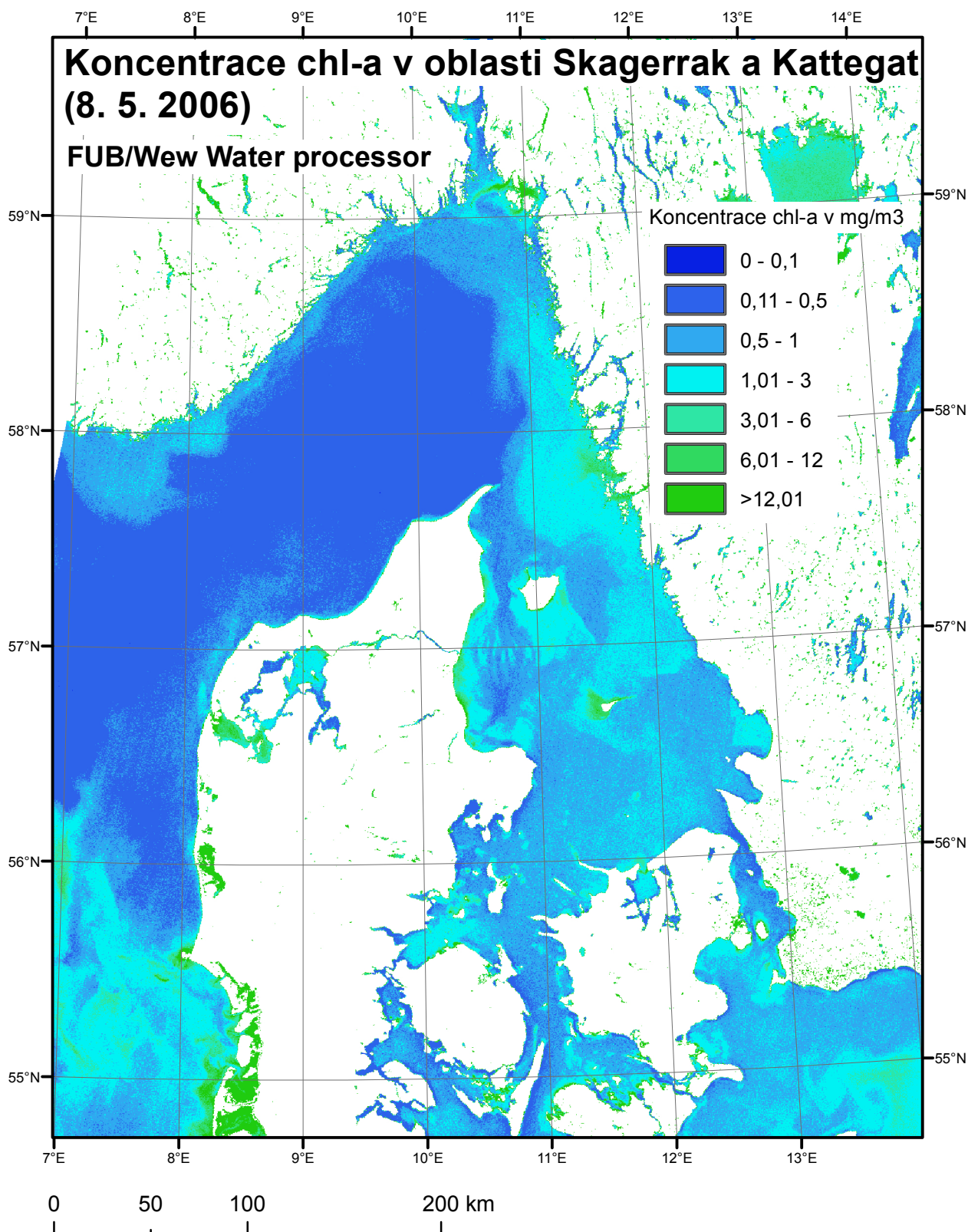


Mapa H5



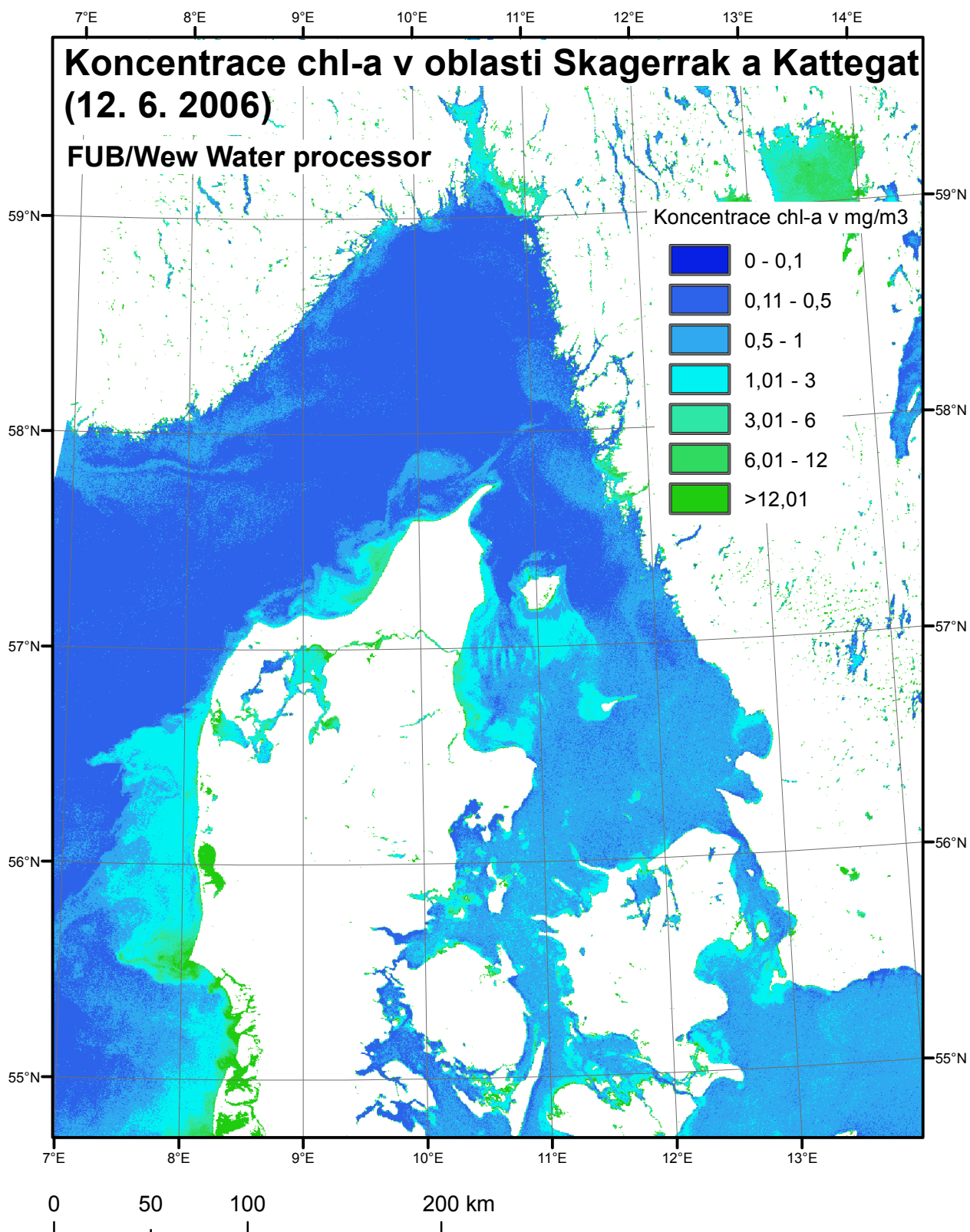
Příloha I: Výsledné mapy zobrazující rozložení chl-a v oblasti průlivů Skagerrak a Kattegat pro 5 snímků MERIS z období květen až září 2003, zpracované pomocí nástroje FUB/Wew Water processor.

Mapa I1

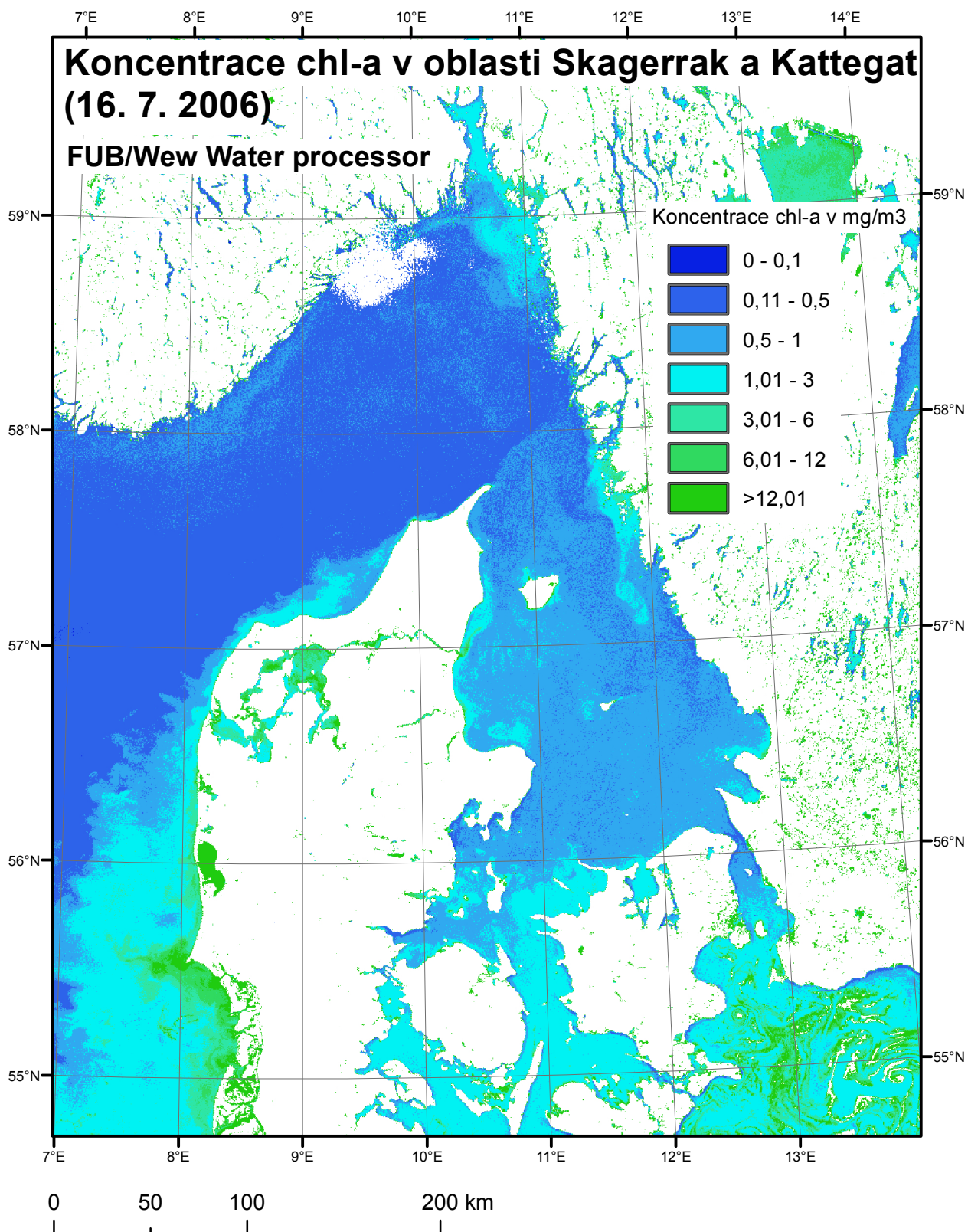




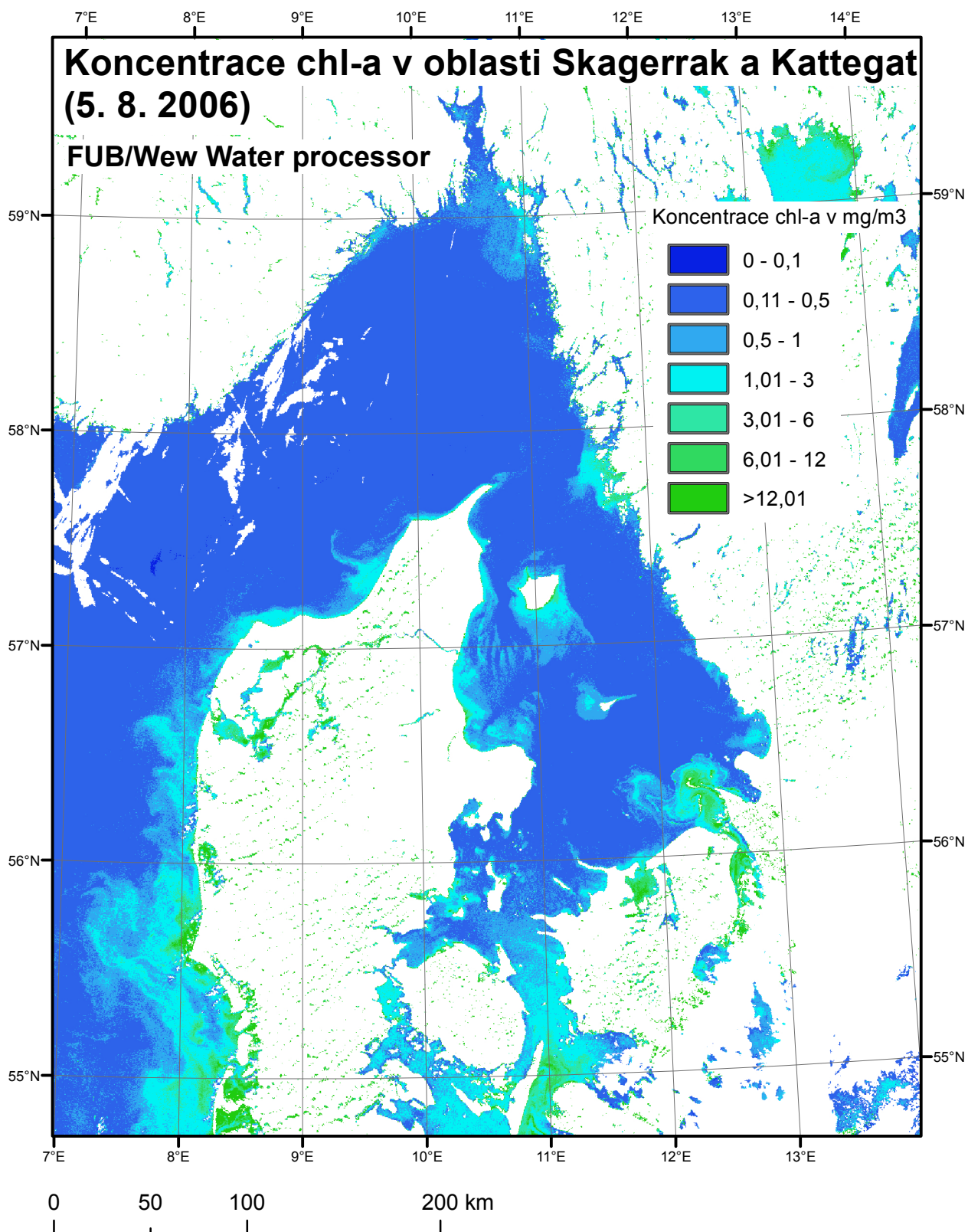
Mapa I2



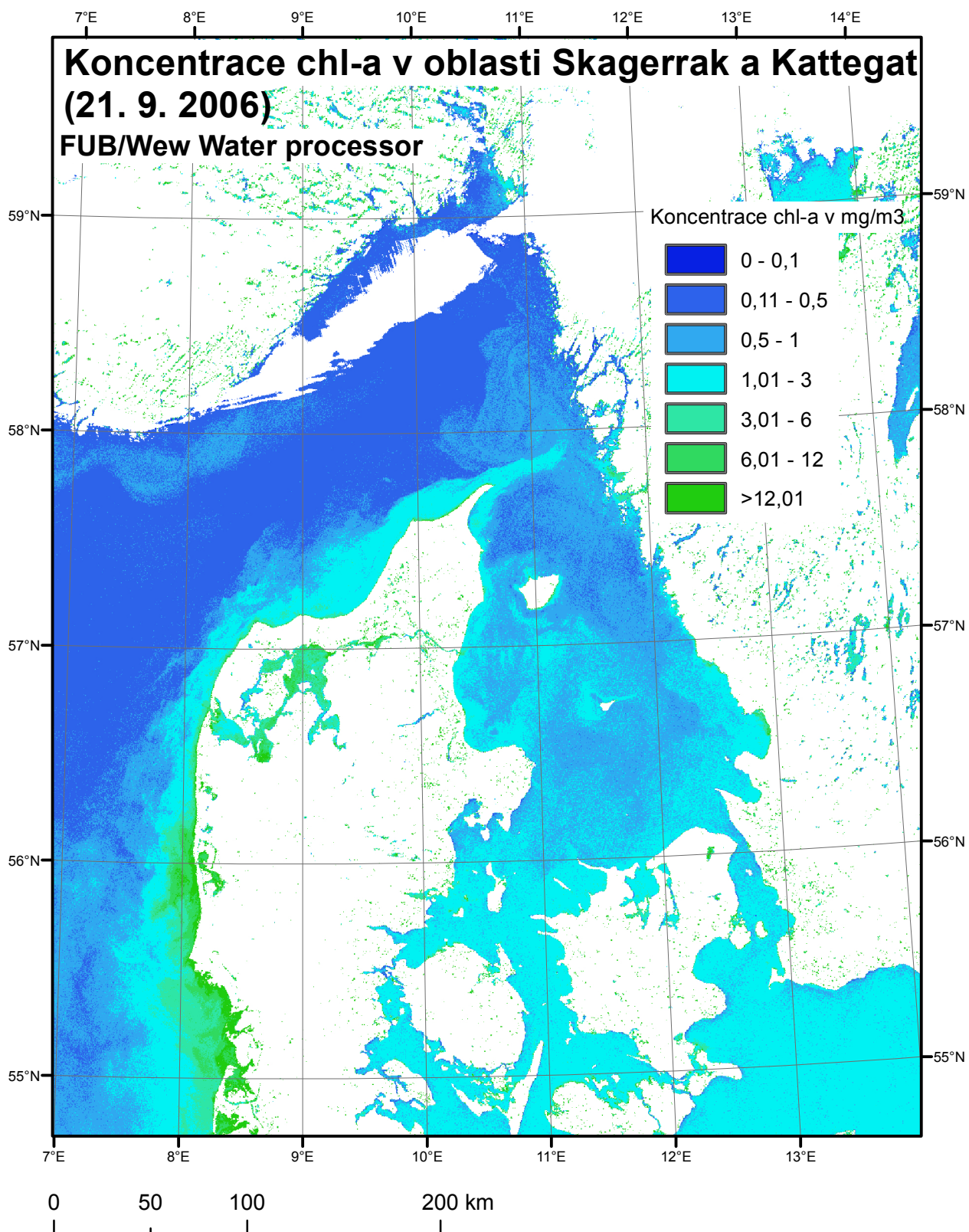
Mapa I3



Mapa I4

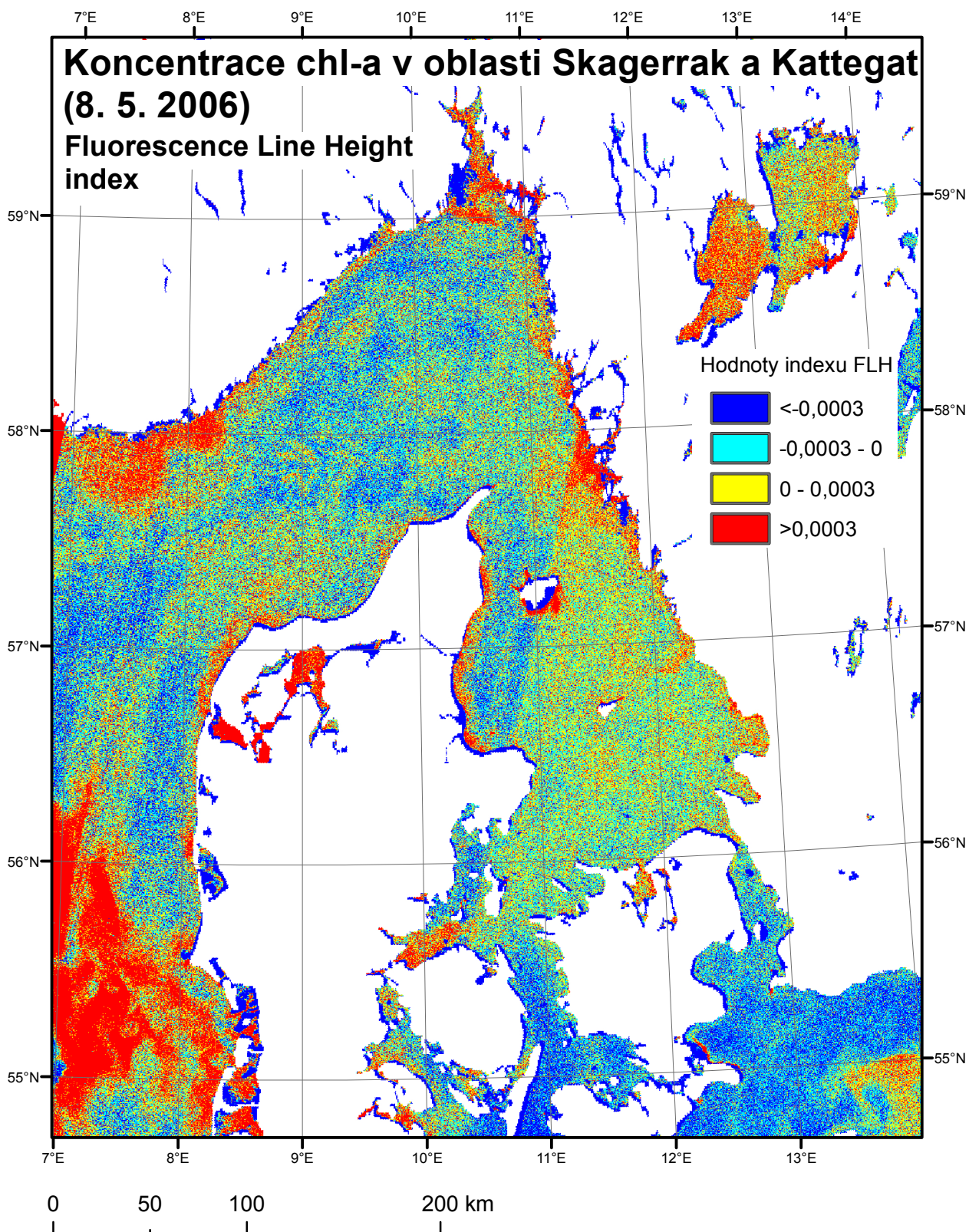


Mapa I5

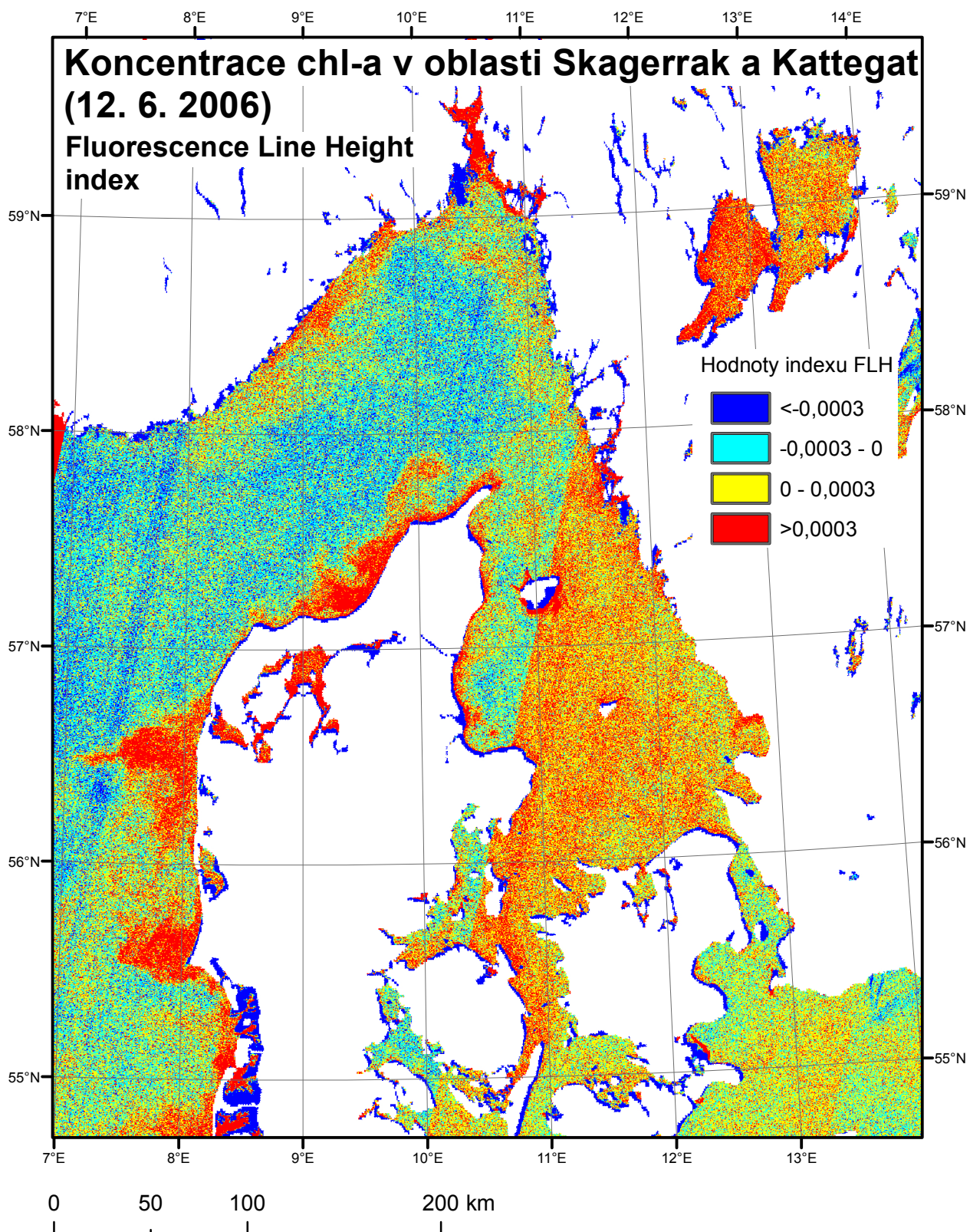


Příloha J: Výsledné mapy zobrazující rozložení chl-a v oblasti průlivů Skagerrak a Kattegat pro 5 snímků MERIS z období květen až září 2003, zpracované pomocí nástroje FLH/MCI Processor. Vyšší hodnoty indexu FLH korespondují s vyšším obsahem chl-a ve vodě.

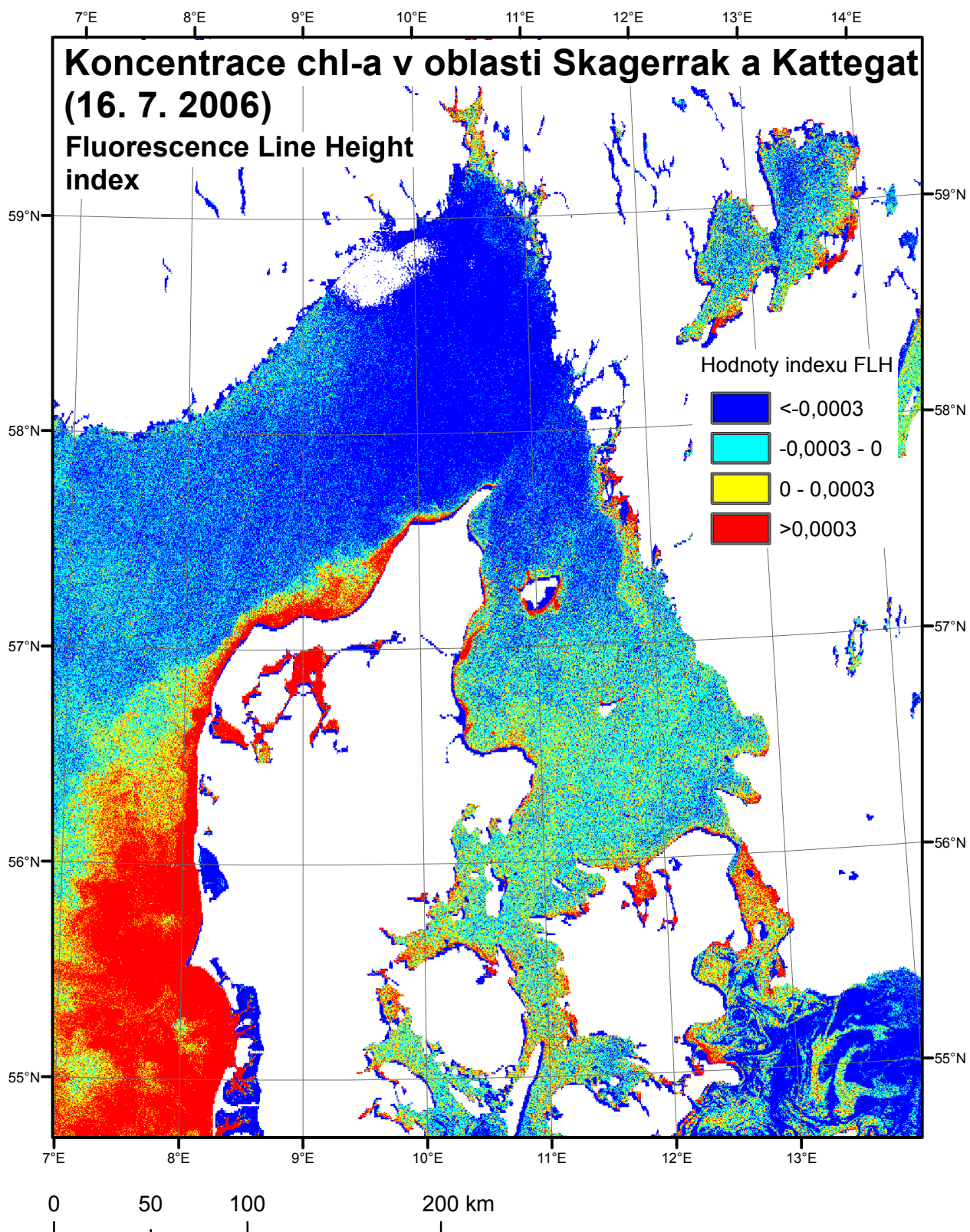
Mapa J1



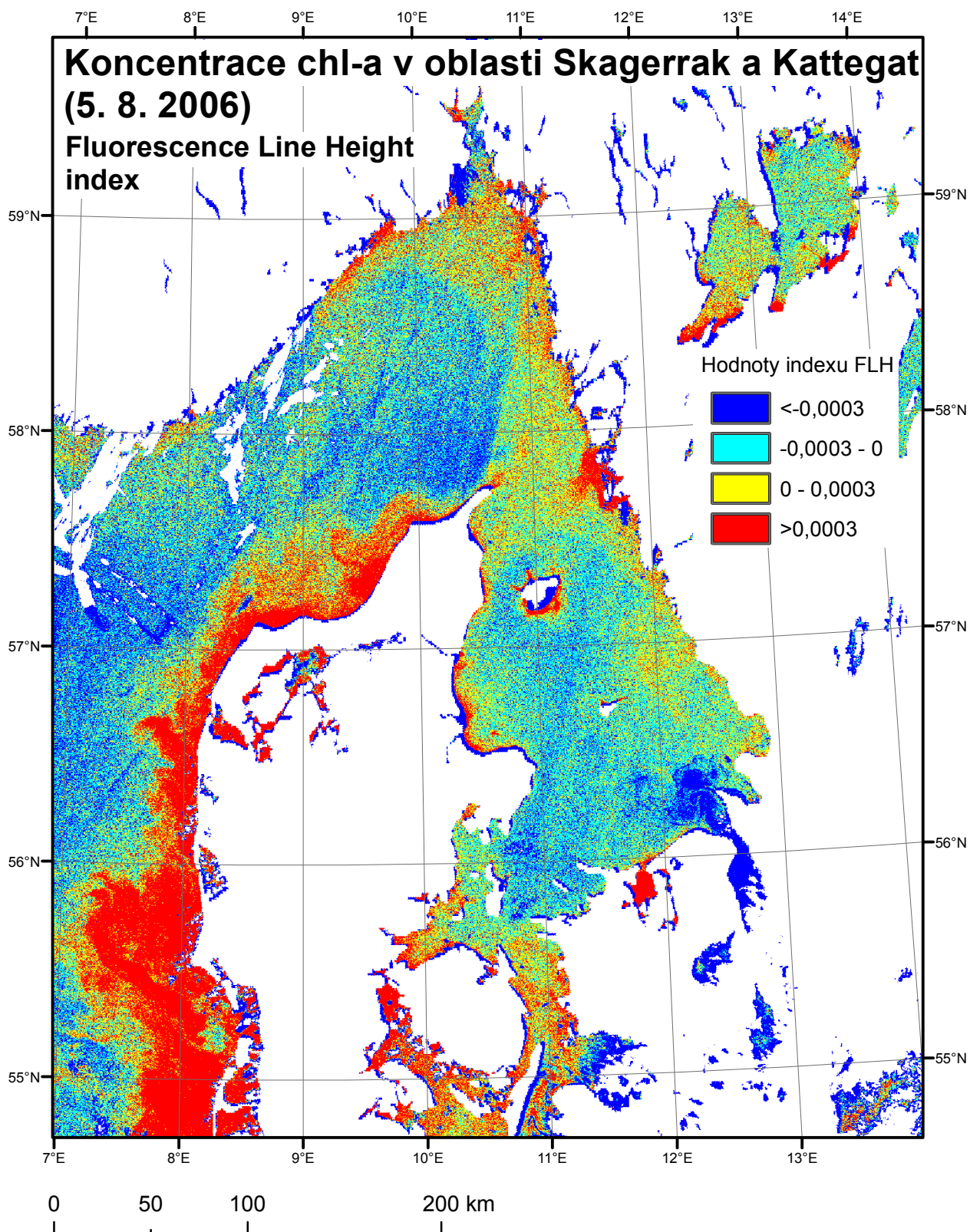
Mapa J2



Mapa J3



Mapa J4





Mapa J5

